

**UNIVERSITATEA TEHNICĂ „GH. ASACHI” IAȘI**  
**FACULTATEA de MECANICĂ**  
**CATEDRA de MOTOARE și AUTOVEHICULE RUTIERE**

**Edward RAKOSI      Radu ROȘCA      Gheorghe MANOLACHE**

**TEHNICI și ECHIPAMENTE**  
**pentru**  
**DIAGNOSTICAREA AUTOVEHICULELOR**  
**Îndrumar pentru Lucrări Practice de Laborator**

Pentru Uz Didactic

**I A Ș I**

**-2005-**



## CUPRINS

<b>Lucrarea 1.</b> Diagnosticarea motoarelor de automobil prin măsurarea presiunii de compresie....	4
<b>Lucrarea 2.</b> Diagnosticarea uzurii motoarelor de automobil prin măsurarea presiunii sau debitului gazelor scăpate în carter.....	7
<b>Lucrarea 3.</b> Diagnosticarea uzurii cilindrilor motoarelor de automobil prin măsurarea depresiunii din galeria de admisie .....	8
<b>Lucrarea 4.</b> Diagnosticarea stării de etanșare a cilindrilor motoarelor de automobil prin suspendarea funcționării acestora .....	10
<b>Lucrarea 5.</b> Diagnosticarea motoarelor de automobil prin măsurarea scăpărilor de aer cu aparatul <i>PALTEST</i> .....	12
<b>Lucrarea 6.</b> Diagnosticarea echipajului mobil al motorului prin determinarea jocului static din lagăre.....	14
<b>Lucrarea 7.</b> Diagnosticarea statică și dinamică a mecanismului de distribuție a gazelor la motoarele de automobil.....	16
<b>Lucrarea 8.</b> Diagnosticarea uzurilor prin ascultarea motorului .....	19
<b>Lucrarea 9.</b> Diagnosticarea motoarelor de automobil prin determinarea conținutului de oxid de carbon din gazele evacuate cu ajutorul analizorului electric <i>FAST-ECO</i> .....	22
<b>Lucrarea 10.</b> Diagnosticarea motoarelor de automobil prin determinarea conținutului de oxid de carbon din gazele evacuate cu ajutorul analizorului electric cu postardere <i>PALTEST JT 220</i> .....	24
<b>Lucrarea 11.</b> Diagnosticarea motoarelor de automobil prin determinarea conținutului de oxid de carbon din gazele evacuate cu ajutorul analizorului cu raze infraroșii .....	28
<b>Lucrarea 12.</b> Diagnosticarea motoarelor diesel de automobil prin determinarea densității fumului emis utilizând fummetrul cu filtrare .....	31
<b>Lucrarea 13.</b> Diagnosticarea motoarelor diesel de automobil prin determinarea densității fumului emis utilizând fummetrul cu absorbție.....	33
<b>Lucrarea 14.</b> Diagnosticarea direcției și punților automobilelor .....	35
<b>Bibliografie</b> .....	40

## DIAGNOSTICAREA MOTOARELOR DE AUTOMOBIL PRIN MĂSURAREA PRESIUNII DE COMPRESIE

### 1.1. Generalități

Măsurarea presiunii în cilindrii motorului la sfârșitul compresiei constituie un procedeu rapid de apreciere a gradului de etanșare a acestora și implicit a uzurii lor. Este una dintre metodele cele mai răspândite pentru diagnosticarea motoarelor [7, 18, 24, 26].

Uzinele constructoare indică valoarea minimă a acestui parametru sub care motoarele trebuie trimise în reparație. În lipsa acestor recomandări, în vederea determinării valorilor normale ale presiunii,  $p$ , obținute în timpul antrenării motorului cu demarorul, se indică următoarea relație empirică :

$$p = 1,55\varepsilon - 2,35 \quad [\text{bar}] \quad (1.1)$$

unde  $\varepsilon$  este raportul volumetric de comprimare al motorului.

### 1.2. Metode și aparatura de diagnosticare

Măsurarea acestei presiuni se poate face cu ajutorul *compresometrului* sau cu ajutorul *compresografului*.

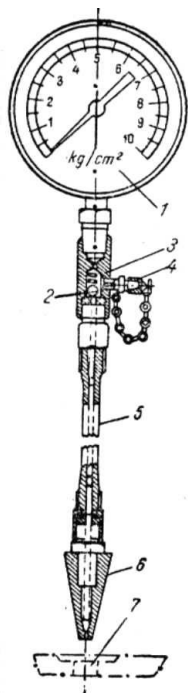


Fig. 1.1.

*Compresometrul* este de fapt un manometru adaptat acestui scop. El este prezentat în **fig. 1.1** și cuprinde, în afară de *manometrul 1*, *tubul 5* racordat acestuia a cărui extremitate opusă se termină printr-un *con de cauciuc 6*, străpuns de un orificiu. În interiorul *tubului 5* este plasată *supapa unisens 2*, controlată de *arcul 3*. Rolul acestei supape este de a opri ieșirea aerului comprimat din *tubul manometrului*, de aceea ea se denumește, în mod curent, *supapă de reținere*. Plasarea ei trebuie să se facă cât mai aproape de *priza de presiune*, în scopul evitării modificării spațiului de comprimare al cilindrilor. Se evită astfel jocul indicatorului manometrului datorită variațiilor de presiune din timpul unui ciclu motor. În același timp, se pot diminua erorile de citire datorită inerției aparatului. Aducerea la zero se poate face fie cu *dispozitivul 4* (**fig. 1.1**), fie cu *arătătorul mobil 3* care rămâne fixat în poziția corespunzătoare presiunii maxime, fiind antrenat de indicatorul manometrului și readus la zero prin rotirea *inelului 4* (**fig. 1.2**). *Compresometrul* se fixează cu partea conică de cauciuc pe orificiul de înșurubare a bujiei sau injectorului prin apăsare puternică. La motoarele cu aprindere prin comprimare se recomandă însă înșurubarea racordului în chiulasă, atunci când construcția aparatului o permite. Există și variante la care etanșarea capului de cauciuc în locașul bujiei se face prin rotirea *șurubului de presiune 5*, indicat în **fig. 1.2**.

*Compresograful* înregistrează pe o bandă de hârtie sau dintr-un alt material (**fig. 1.3**) presiunile maxime de compresie ale fiecărui cilindru.

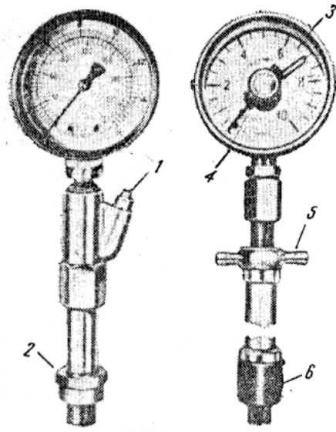


Fig. 1.2.

Compresografele sunt mai utile decât compresometrele, mai ales în cadrul atelierelor de reparații și al stațiilor de întreținere, deoarece diagramele înregistrate constituie documente utile pentru urmărirea stării tehnice a motoarelor automobilelor.

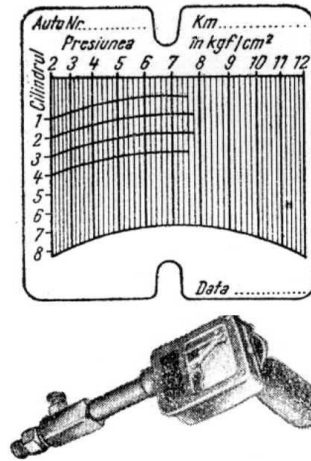


Fig. 1.3.

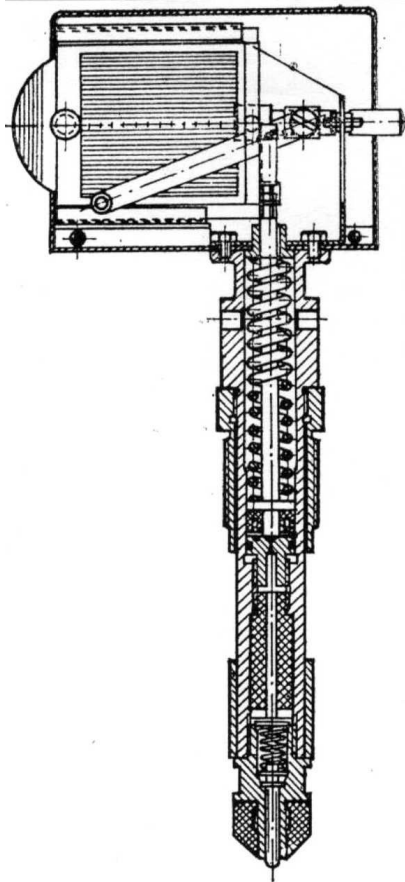


Fig. 1.4.

Construcția compresografului [29] este prezentată în **fig. 1.4.**

În general, aceste aparate se construiesc pentru câmpuri de presiuni de  $0 \div 14$  bar pentru motoarele cu aprindere prin scânteie și de  $0 \div 60$  bar pentru motoarele cu aprindere prin comprimare.

Unele dintre cele mai utilizate aparate de acest gen, la noi în țară, au fost compresografele marca *MOTOMETER*, produse în Germania și destinate atât motoarelor cu aprindere prin scânteie cât și celor cu aprindere prin comprimare. S-au folosit de asemenea în dotarea unităților specializate compresografele cehoslovace tip *KN 1123*, destinate măsurării presiunilor în domeniul  $15 \div 45$  bar.

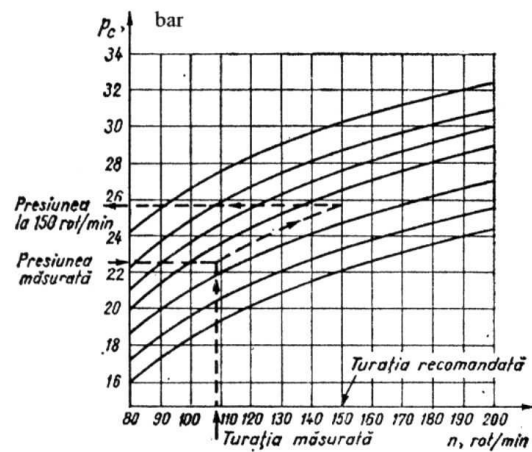


Fig. 1.5.

### 1.3. Efectuarea determinărilor

În vederea testării se demontează bujiile sau injectoarele. În cazul motoarelor cu aprindere prin scânteie trebuie să se deschidă total clapeta obturatoare, iar motoarele se recomandă să fie în stare caldă.

Determinările se vor efectua la turația de antrenare a motorului cu demarorul, adică  $150 \div 200$  rpm. La această turație, presiunile măsurate sunt însă puternic influențate de variația turației, care la rândul ei depinde de numeroși factori. De aceea se recomandă corectarea erorilor datorate abaterilor turației de la valoarea prescrisă, folosind diagrama din **fig. 1.5**.

Precizia determinării presiunii maxime de compresie prin această metodă este influențată și de *temperatură*. Astfel, în situația motorului rece se obțin valori cu  $10 \div 15$  % inferioare, traduse prin abateri de  $2,5 \div 10$  bar.

În afară de valoarea absolută a presiunii de la sfârșitul compresiei, se recomandă verificarea, în egală măsură, a variației presiunii între cilindrii motorului. Diferențele de presiune de 10%, înregistrate în plus sau în minus, trebuie considerate anormale.

## DIAGNOSTICAREA UZURII MOTOARELOR DE AUTOMOBIL PRIN MĂSURAREA PRESIUNII SAU DEBITULUI GAZELOR SCĂPATE ÎN CARTER

### 2.1. Generalități

Cantitatea de gaze scăpată în carter crește, în cazul uzurilor avansate, de circa  $5 \div 7$  ori. Ea se poate exprima printr-o relație generală, de forma:

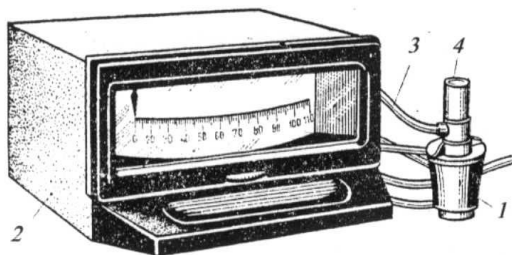
$$Q = s_0 \cdot \varphi \cdot v \quad [l/min], \quad (2.1)$$

unde  $s_0$  este suprafața secțiunii prin care circulă gazele,  $\varphi$  coeficientul de debit al gazelor,  $v$  viteza de curgere a gazelor prin jocul dintre piesele grupului piston - cilindru. Gradul de uzură posedând valori de referință pentru acest debit (pentru un motor nou), se poate aprecia gradul de uzură.

Aspectul se impune deoarece relația de mai sus caracterizează fenomenul curgerii gazelor (în carter), în condițiile variației celor trei parametri, nefiind astfel posibilă stabilirea riguroasă, pe cale analitică, a dependenței dintre scăpările gazelor în carter și uzura pieselor. De asemenea, se apreciază că dacă presiunea în carter ajunge la  $80 \div 160$  mmHg, motorul este uzat.

### 2.2. Metode și aparatura de diagnosticare

Măsurarea **presiunii** se face cu *micromanometre* obișnuite, în timp ce măsurarea **debitelor** se face cu *debitmetre volumetrice* sau cu *diafragmă*. Un tip interesant de aparat este *PPG-1*, descris în **fig. 2.1** [29]. El folosește pentru măsurarea debitelor depresiunea creată cu *ejectorul 1* fixat etanș în orificiul de umplere cu ulei al motorului. Ejectorul este legat de *aparatură de măsură 2*, cu ajutorul *racordului elastic 3*. Gazele din carter care trec prin ejector, ies prin *țeava 4*, producând în *țeava de legătură 3* o depresiune proporțională cu debitul acestora. Aparatul indicator este un vacuometru cu scala  $0 \div 120$  l/min și eroarea de 3%.



**Fig. 2.1.**

Se recomandă, înainte de efectuarea probelor, ca instalația de ventilație a carterului să fie deconectată iar carterul ermetizat, prin obturarea orificiilor de ieșire ale sistemului de ventilație și jojei de ulei.

Rezultatele obținute în acest fel reprezintă o medie a stării tehnice a cilindrilor motorului.

Cu aceste aparate însă se poate stabili și starea fiecărui grup piston-cilindru, separat. În acest scop, după stabilirea debitului total de gaze, se măsoară debitele de gaze evacuate din carter scoțând din funcționare, succesiv, câte un cilindru. Dacă la un cilindru se constată că debitul găsit se abate cu mai mult de  $25 \div 30$  l/min, față de valoarea totală măsurată anterior, rezultă că această secțiune a motorului are un grad avansat de uzură, adică segmentii pot fi ruși sau cocsăți sau cilindrul respectiv este foarte uzat.

Măsurarea cantității de gaze scăpate în carter se poate face, de asemenea, în modul cel mai simplu, prin utilizarea unui piezometru, racordându-se unul dintre capetele tubului la capacul de aerisire al carterului sau la locașul țigii indicatoare a nivelului uleiului.

DIAGNOSTICAREA UZURII CILINDRILOR MOTOARELOR DE AUTOMOBIL PRIN  
MĂSURAREA DEPRESIUNII DIN GALERIA DE ADMISIE

3.1. Generalități

Este unul din procedeele cele mai simple de stabilire a gradului de etanșare a cilindrului. În acest scop, multe motoare sunt chiar prevăzute cu orificii obturate, plasate în galerie, sub carburator.

Depresiunea din colectorul de admisie depinde de debitul volumic de încărcătură proaspătă pătrunsă în cilindri,  $G'_a$ , de turația motorului,  $n$ , și de poziția obturatorului,  $\varphi$  [18, 29].

Astfel,  $G'_a$  se definește pe baza unei relații cunoscute și anume:

$$G'_a = G'_s \cdot \eta_v \quad (3.1)$$

unde:  $\eta_v$  este coeficientul de umplere și

$G'_s$  â debitul volumic de încărcătură proaspătă ce ar putea fi reținută în cilindri la parametrii inițiali,  $p_0$  și  $T_0$ .

Debitul de încărcătură  $G'_s$ , exprimat în unități de volum/oră, poate fi calculat la rândul său cu relația:

$$G'_s = V_s \frac{ni}{\nu} 60, \quad (3.2)$$

$i$  reprezentând numărul de cilindri ai motorului, iar  $\nu$  frecvența ciclică de funcționare; după numărul de timpi,  $\nu$  poate lua valoarea 1, în cazul motoarelor în doi timpi, sau valoarea 2, în cazul celor în patru timpi.

Aplicând ecuația lui Bernoulli la nivelul difuzorului carburatorului, obținem:

$$G'_a = \alpha \cdot S_d \sqrt{\frac{2\Delta p}{\rho}} \quad (3.3)$$

unde:  $\alpha$  - este coeficientul de debit al difuzorului;

$S_d$  - este secțiunea difuzorului, iar

$\rho$  - semnifică densitatea aerului în colectorul de admisie.

Prin ridicare la pătrat a ambilor membri ai relației de mai sus și înlocuiri succesive, se ajunge la:

$$V_s^2 \left[ \frac{ni}{\nu} 60 \right]^2 \eta_v^2 = \alpha^2 S_d^2 \frac{2\Delta p}{\rho} \quad (3.4)$$

Exprimând pe  $\Delta p$  de mai sus după simplificări, se obține următoarea expresie:

$$\Delta p = [1800 \rho] \left[ \frac{i V_s}{\nu S_d} \right]^2 \frac{n^2 \eta_v^2}{\alpha^2} \quad (3.5)$$

După notarea cu  $\mathcal{M}$  a primilor doi termeni considerați constanți în această expresie,  $\Delta p$  apare sub o formă mai simplă, adică:



$$\Delta p = \mathcal{M} n^2 \eta_v^2 \frac{1}{\alpha^2} \quad (3.6)$$

Termenul  $\mathcal{M}=1800 \rho \left[ \frac{iv_2}{vS_d} \right]^2$  depinde de construcția motorului supus diagnosticării. Rezultă deci

că, pentru aceeași poziție a obturatorului și o turație dată, depresiunea din galeria de admisie depinde numai de gradul de etanșare a cilindrilor, pus în discuție prin coeficientul de umplere.

Se indică de către constructorii de motoare turația la care trebuie să se efectueze încercările, turație care poate fi cea nominală, precum și valorile limită ale depresiunilor.

Pentru motoarele în patru timpi, cu rapoarte de comprimare cuprinse între 6,5 și 8, valoarea depresiunii trebuie să fie cuprinsă, la rândul ei, între limitele:  $\Delta p = 470, \dots, 520$  mmHg. Pentru cele în doi timpi, valoarea este mai mică și anume:  $\Delta p = 190, \dots, 210$  mmHg.

### 3.2. Metode și aparatura de diagnosticare

În vederea acestei diagnosticări, se pot utiliza și aparate bazate pe măsurarea debitului și nu a depresiunii. Se folosesc astfel *debitmetrele* care au la bază *principiul lui Bernoulli*. Astfel de aparate, descrise în principiu în **fig. 3.1**, au în componență o *diafragmă 2*, *micromanometrul 5* și un *rezervor de liniștire 3*, plasat între *galeria de admisie 4* și diafragmă [18, 29].

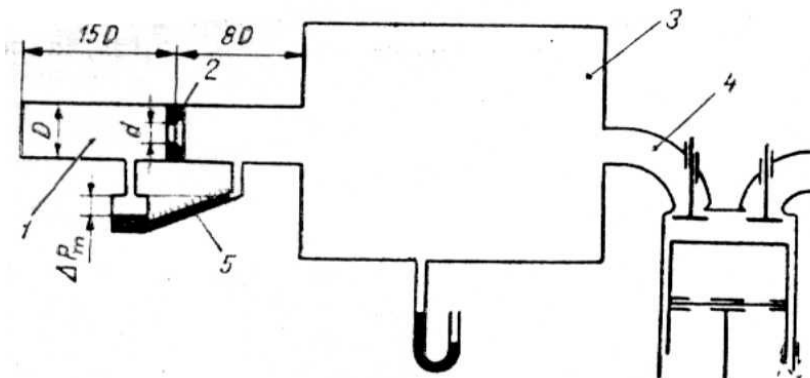


Fig. 3.1.

Scala manometrului se poate grada în *debite* sau direct în *pierderi de putere procentuale*. Este cazul aparatelor *Crypton*, de proveniență engleză care, în vederea măsurătorilor, se plasează direct pe carburator, în locul filtrului de aer.

DIAGNOSTICAREA STĂRII DE ETANȘARE A CILINDRILOR MOTOARELOR DE AUTOMOBIL PRIN SUSPENDAREA FUNCȚIONĂRII ACESTORA

4.1. Generalități

În regimul de mers în gol al motorului, funcționarea stabilă a acestuia este asigurată de egalitatea dintre cuplul motor indicat și cel rezistent datorat consumului propriu de energie [18, 29]. Astfel, la turația  $n_1$ , vom avea ecuația de echilibru:

$$M_{i_1} = M_r, \quad (4.1)$$

adică se va obține *punctul de funcționare 1*, din **fig. 4.1**.

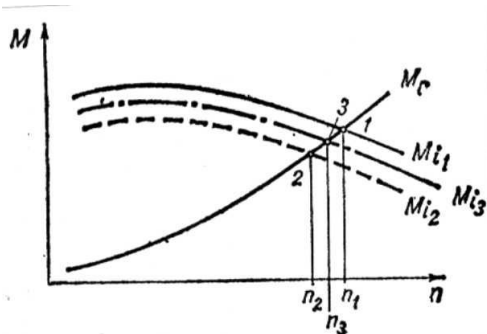


Fig. 4.1.

La scoaterea din funcționare a unui cilindru cu o etanșare normală, cuplul motor indicat se va reduce corespunzător curbei  $M_{i_2}$ , punctul de funcționare stabilindu-se în 2, deci la turația  $n_2 < n_1$ . Echilibrul va fi exprimat în acest caz de relația:

$$M_{i_2} = M_r \quad (4.2)$$

În cazul unui cilindru cu grad de etanșare redus, scăderea cuplului indicat este mai mică, iar punctul de funcționare se va plasa pe curba  $M_{i_3}$ , deci la o turație  $n_3 > n_2$ .

Se poate concluziona că cilindrii cu grad de etanșare mai mic vor determina reduceri mai mici de turație, prin scoaterea lor din funcțiune, decât cei cu etanșare normală.

Astfel, dacă variațiile procentuale de turație între cilindri nu depășesc 4%, motorul se consideră bun; în caz contrar, trebuie căutată cauza care determină funcționarea incorectă a cilindrilor la care s-a constatat cea mai mică reducere de turație. O astfel de situație este ilustrată în **fig. 4.2**.

Din categoria acestor aparate, în țara noastră s-a utilizat mult timp tipul ELKON S-103, destinat m.a.s.-urilor. Aparatul are două scale: una indică turația, iar cealaltă variația procentuală a acesteia. Turația se măsoară folosind impulsurile electrice din circuitul primar al instalației de aprindere. Modul de conectare a acestui aparat la motor este prezentat în **fig. 4.3**.

La motorul diesel trebuie exploatate domeniile de turație unde regulatorul este activ, deoarece numai la aceste regimuri motorul funcționează stabil. Aceste domenii sunt puse în evidență în **fig. 4.4**, în cazul unui regulator cu două regimuri, ele corespunzând intervalelor de turație  $n_g, \dots, n'_g$  și  $n_{max}, \dots, n'_{max}$ .

Precizia mai ridicată a determinărilor la turațiile mari, unde cuplul rezistent are o valoare superioară, recomandă utilizarea celui de al doilea domeniu. Procedeu se poate aplica și fără citirea turației care la motoarele diesel trebuie să se facă pe cale mecanică. În acest caz, se pune în evidență poziția organului de reglaj a debitului ciclic de combustibil cu ajutorul unui dispozitiv multiplicator.

Stabilindu-se turația motorului în cel de al doilea domeniu de funcționare, de exemplu în *punctul 1*, se suspendă funcționarea unui injector. Astfel, momentul motor indicat ar trebui să se

diminueze până la o valoare corespunzătoare punctului 1', în condițiile în care turația  $n_1$  s-ar menține constantă. Reducerea momentului mo-tor are drept consecință imediată scăderea turației.

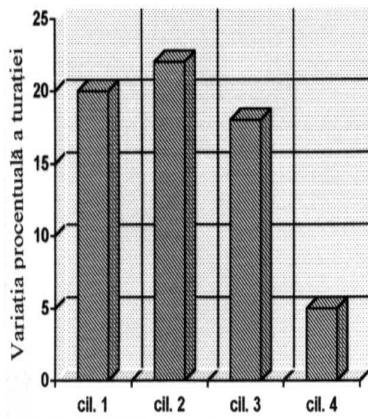


Fig. 4.2.

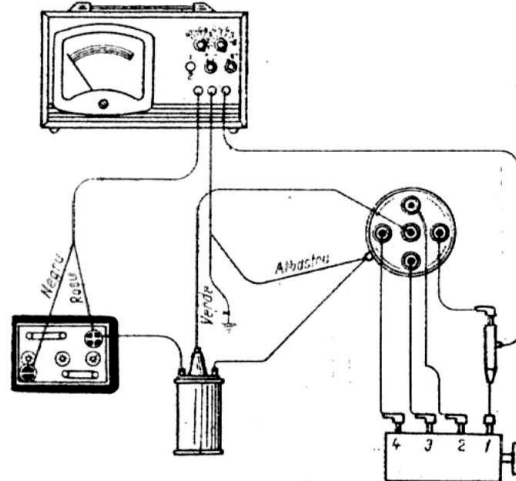


Fig. 4.3.

Intervenția regulatorului pompei de injecție, în sensul creșterii debitului ciclic de combustibil, mărește cuplul motorului, stabilindu-se astfel un nou *punct de echilibru* marcat cu 2, caracterizat de egalitatea dintre *momentul motor indicat*  $M_i$  și *momentul rezistent*  $M_r$ . Dispozitivul amintit mai sus pune în evidență deplasarea suplimentară a cremalierii care constituie astfel criteriul de apreciere a neuniformității funcționării cilindrilor [18].

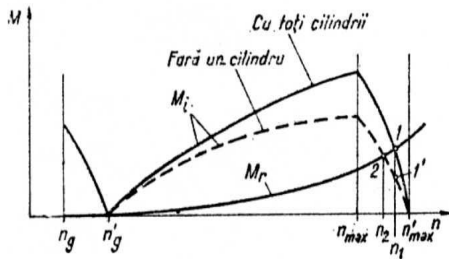


Fig. 4.4.

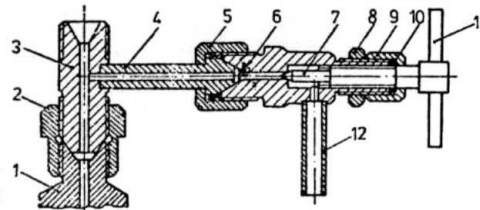


Fig. 4.5.

Utilizarea acestui procedeu la motoarele cu aprindere prin comprimare implică însă folosirea unui dispozitiv care asigură suspendarea alimentării cilindri-lor. Principial, el este descris în **fig. 4.5** și cuprinde *piesa de legătură* 3, montată pe *racordul* 1 al pompei de injecție, fixarea obținându-se cu *piulița* 2, *conducta* 4 montată pe *piesa* 6, prevăzută cu *ventilul* 7, precum și *piesele de legătură* 8, 9, 10, *mânerul* 11 și *țeava de scurgere* 12. Acest dispozitiv se montează în paralel cu injectorul, întreruperea alimentării obținându-se prin deschiderea *ventilului* 7. Colectarea motorinei refulate se face prin *țeava* 12, într-un vas prevăzut acestui scop.

## DIAGNOSTICAREA MOTOARELOR DE AUTOMOBIL PRIN MĂSURAREA SCĂPĂRILE DE AER CU APARATUL *PALTEST*

### 5.1 Principiul metodei

Prin această metodă, motoarele pot fi diagnosticate prin crearea unei suprapresiuni în cilindru sau prin crearea unei depresiuni [29].

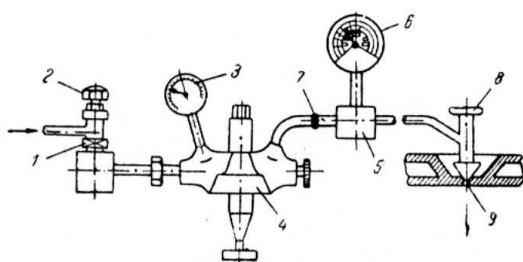
În prima situație, pe o cale oarecare se realizează o presiune de aer în cilindrul testat. După întreruperea alimentării cu aer, în funcție de variația presiunii în timp, se poate aprecia gradul de etanșare a cilindrului.

Un astfel de aparat se numește *pneumometru*. Schema sa de principiu este prezentată în **fig.**

5.1. Aparatul cuprinde, în mare, următoarele elemente [7]:

- 1 - racord de aer;
- 2 - robinet de admisie a aerului;
- 3 - manometrul de control de presiune înaltă;
- 4 - regulatorul de presiune;
- 5 - camera de omogenizare;
- 6 - manometrul de joasă presiune, denumit indicator de stare tehnică;
- 7 - racord de legătură elastic spre orificiul calibrat;
- 8 - robinet de admisie a aerului;
- 9 - piesa de etanșare în orificiul de bujie.

Aparatul măsoară **pierderile relative** de aer din cilindru și prin interpretarea acestor date dă indicații asupra gradului de uzură a motorului.



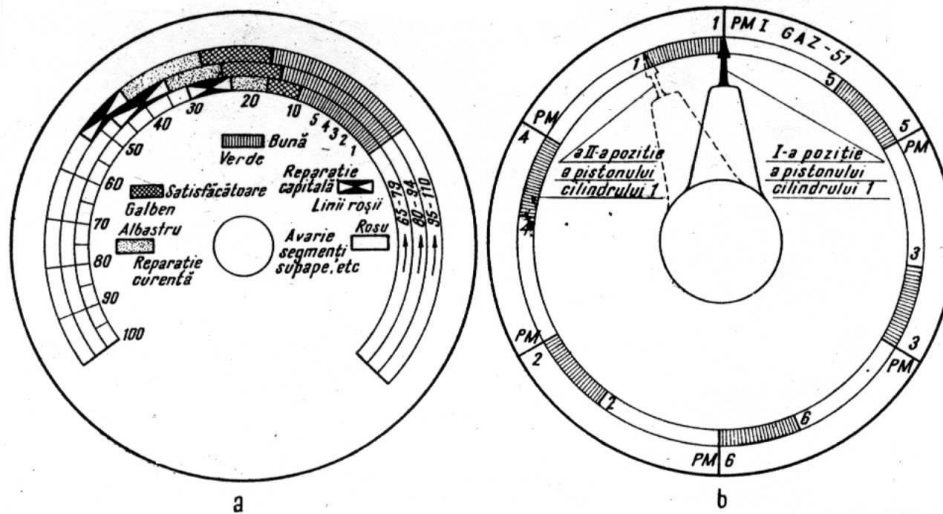
**Fig. 5.1.**

Funcționarea aparatului este următoarea: aerul de la sursa de alimentare, cu o presiune de cel puțin 5 bar, intră prin *racordul 1* la *regulatorul de presiune 4*, iar de acolo în *camera de omogenizare a presiunii 5* și, prin *robinetul de admisie 8* intră în cilindrul motorului. *Manometrul de înaltă presiune 3*, indică presiunea de intrare a aerului în aparat, iar *manometrul de joasă presiune 6* indică

pierderea procentuală de aer, datorită neetanșeității cilindrului. *Regulatorul de presiune 4* stabilizează presiunea de lucru a aerului la 4,5 bar, indiferent de presiunea inițială a aerului la intrarea prin *racordul 1*. Admisia aerului în *camera de omogenizare 5*, se face prin *orificiul calibrat 7* care limitează trecerea aerului spre capul de ieșire. Astfel, în cazul unei presiuni constante, asigurate de *reductorul de presiune 4*, în *camera 5* va trece o anumită cantitate de aer în unitatea de timp. Aerul se introduce în cilindru prin apăsarea *capului 8* și a piesei de etanșare în orificiul *bujiei 9*. În capul de admisie a aerului există o supapă de reținere a aerului care se deschide numai la apăsarea cu mâna a capului pe gaura bujiei.

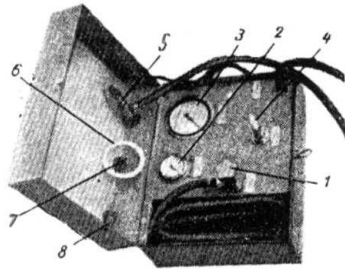
La trecerea aerului în cilindrul motorului, acul indicator al manometrului de joasă presiune, după unele oscilații se va stabiliza într-o poziție de echilibru, determinată de egalitatea dintre debitul aerului care intră în cilindru și cel care scapă prin neetanșeitățile dintre fanta segmentilor și dintre pereții cilindrului și segmenti.

Scala manometrului de joasă presiune este gradată în procente de pierdere de aer, în zone concentrice, așa cum se arată în **fig. 5.2.a**, după valoarea alezajului cilindrului supuși verificării. Aprecierea calitativă a stării tehnice este reprezentată direct pe scală, de exemplu prin culori diferite, care indică: stare bună, stare satisfăcătoare, necesitatea reparației curente, reparație capitală sau avarie [7].



**Fig. 5.2**

Pierderea de aer din cilindri se măsoară spre sfârșitul cursei de comprimare, de obicei în două poziții: la PMI și la 60 mm de la suprafața superioară a blocului. Prin interpretarea valorii absolute a pierderilor de aer în cele două poziții ale pistonului, se poate evalua gradul de uzură (**b**).



**Fig. 5.3**

Stabilirea stării tehnice a motorului cu acest aparat este destul de rapidă. Astfel, pentru un motor cu șase cilindri este nevoie doar de 15 minute.

Experimental, a rezultat că la o diferență de pierdere de aer mai mare ca 20% la motoarele de autocamioane și de autobuze și de peste 15% la motoarele de autoturisme, acestea trebuie reparate capital. Prezentarea acestui tip de aparat se face în **fig. 5.3** [24].

## DIAGNOSTICAREA ECHIPAJULUI MOBIL AL MOTORULUI PRIN DETERMINAREA JOCULUI STATIC DIN LAGĂRE

### 6.1. Generalități

Metoda permite stabilirea valorilor jocurilor din lagărele arborelui cotit, ale bieiei și bolțului.

Aparatura utilizată este descrisă în **fig. 6.1**. Ea conține *sursa de aer comprimat 9 și de vacuum 8*, prevăzute cu *rezervoarele 10 și 7*, *manovacuumetrele 6 și regulatoarele 4 și 5*; ele sunt puse în legătură cu *distribuitorul 3*. Acesta conectează alternativ cilindrul cercetat cu cele două surse, cu o frecvență de 50 de impulsuri duble pe minut. Partea de măsură conține *dispozitivul electronic 14*, *blocul de alimentare 13*, precum și *traductoarele 2, 11 și 12*. *Dispozitivul 14* prelucrează de fapt semnalele transmise de traductoare, măsoară timpii de la începutul deplasării pistonului până în momentele producerii șocurilor în lagăre. Simultan, măsoară presiunea în camera de compresie a cilindriului cercetat [29].

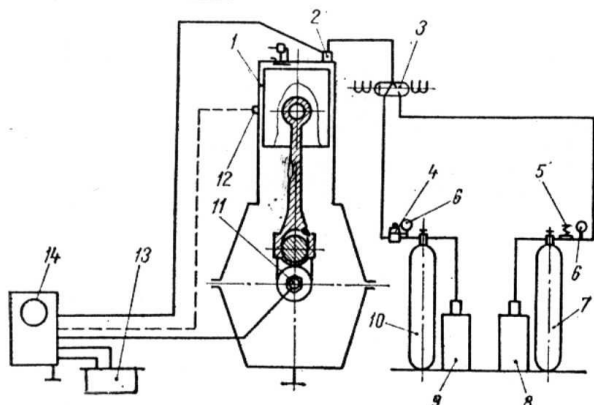


Fig. 6.1.

*Traductorul 12* se plasează magnetic pe blocul motor, iar *traductorul 11* pe capătul arborelui cotit. *Traductorul de presiune 2* se montează în locul bujiei, injectorului sau supapei de admisie.

Instrumentele indicatoare ale *aparaturii 14* sunt constituite, de fapt, din două ampermetre, cu scalele gradate în ms, respectiv bar.

La începerea măsurătorilor, se aduce pistonul la PMI. *Distribuitorul 3* pune cilindriul succesiv în legătură cu rețeaua

de aer comprimat sau de vacuum. Deci, *pistonul 1* va fi alternativ atras spre chiulasă și apoi apăsat spre arborele motor. Instalația măsoară intervalele de timp între începutul mișcării pistonului într-un sens și șocurile produse succesiv prin consuma-rea jocurilor în articulațiile bieiei și arborelui.

Intervalele de timp citite sunt apoi transformate în mărimi ale jocurilor din aceste articulații, cu ajutorul unor nomograme.

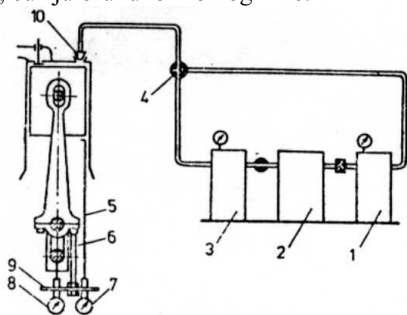


Fig. 6.2.

Există și o variantă simplificată a acestei instalații care suplinește lipsa traductoarelor adecvate, folosind comparatoare. În acest caz, măsurarea jocurilor se face direct, așa cum se arată în **fig. 6.2** [18]. Există de asemenea două rezervoare, unul de aer comprimat 1 și altul de vacuum 3. Presiunile în cele două rezervoare sunt asigurate de *compresorul 2*. *Robinetul cu trei căi, 4*, servește pentru conectarea cilindriului motorului la rezervoare.

În vederea măsurătorii se demontează, după caz, carterul inferior al motorului sau baia de ulei și se montează *comparatoarele 7 și 8*, cu ajutorul *piesei 9*, fixată pe capacul bielei prin intermediul *tije 6*. *Comparatorul 7* se poziționează, folosind *tija 5*, sub mantaua pistonului, în timp ce al doilea *comparator, 8*, se montează sub un braț al arborelui cotit. În acest mod, *comparatorul 7* va înregistra deplasarea pistonului în raport cu biela, adică suma jocurilor dintre piston și bolț și dintre bolț și bielă.

Sucesiunea operațiilor cu o astfel de instalație este următoarea:

- se demontează bujiile sau injectoarele motorului;
- se creează în *rezervorul 1* o presiune de circa 2 bar, iar în *3* o depresiune de aproximativ 0,9 bar;
- se aduce pistonul cilindrului respectiv în PMI, corespunzător cursei de comprimare și se asigură arborele cotit contra rotirii libere;
- se conectează instalația în locașul bujiei sau injectorului prin intermediul *racordului de cauciuc 10* și reglând *robinetul 4* se creează în cilindru o depresiune, după care se aduc comparatoarele la zero;
- acționând din nou *robinetul 4* se trimite în cilindru aer comprimat, astfel ca pistonul și biela să fie apăstate către arborele cotit, citindu-se jocurile indicate de comparatoare;
- pentru mărirea preciziei, probele se repetă de 3 - 4 ori, luându-se în considerare media aritmetică a valorilor;
- operațiunile se reiau la toți cilindrii motorului.

## DIAGNOSTICAREA STATICĂ ȘI DINAMICĂ A MECANISMULUI DE DISTRIBUȚIE A GAZELOR LA MOTOARELE DE AUTOMOBIL

### 7.1. Generalități

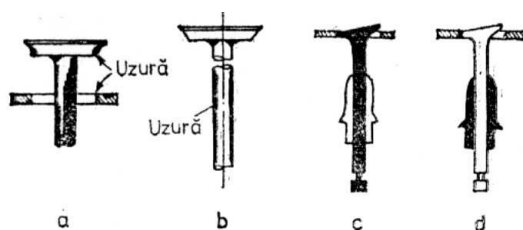
Funcționarea incorectă a mecanismului de distribuție afectează nu numai durata normală de serviciu a motorului, ci și indicii săi economici. Frecvent, aceste defecțiuni sunt ignorate sau confundate cu defecțiuni ale sistemului de aprindere, deoarece unele efecte sunt asemănătoare [26].

Elementele mecanismului de distribuție a gazelor sunt supuse mai ales uzurilor mecanice. Există totuși unele piese, în special supapele de evacuare care în plus sunt solicitate și din punct de vedere termic și chimic. Din aceste motive apar abateri dimensionale și de formă ale elementelor mecanismului. Acestea se manifestă la nivelul camelor arborelui de distribuție, tacheșilor, culbutorilor și cozilor supapelor. De asemenea, se creează jocuri mărite la perechile tacheț-ghid, culbutor-supapă, supapă-ghid, precum și în lagărele arborelui cu came. Uzurile apar în timp și la pinioanele de distribuție, la lanțul de distribuție producând, în egală măsură, detensionarea arcurilor supapelor și defecțiuni ale mecanismului de întindere a lanțului.

Procesele menționate sunt accelerate de neaplicarea consecventă și corectă a normelor profilactice de întreținere tehnică a mecanismului de distribuție.

Așa cum s-a arătat, supapa de evacuare este cel mai complex solicitată și de aceea, cele mai frecvente defecțiuni majore se localizează aici. Datorită faptului că această supapă primește căldură când este în poziția deschisă pe întreaga sa suprafață exterioară, răcirea făcându-se numai prin tijă și extrem de puțin prin suprafața de etanșare a scaunului, evident numai când supapa este închisă, temperatura sa de regim este ridicată putând atinge 750 – 800 °C. În această situație, rezistența mecanică și de uzură a oțelului se reduc, apărând pericolul de gripare în ghid și de deformare a talerului. Acest ultim aspect este favorizat și de distribuția neuniformă a temperaturii pe circumferința talerului. Se compromite în acest mod etanșarea, fenomenul amplificându-se destul de rapid din cauza apariției calaminei între suprafețele de așezare. Prezența calaminei pe supapa de evacuare se explică prin transformările chimice ale uleiului și combustibilului care apar la temperaturi înalte.

Amplificarea interdependentă a acestor două procese conduce la deformarea accentuată a supapei și la *arderea ei*. Aspectul se manifestă prin creșterea consumului de combustibil, printr-o funcționare neregulată a motorului la mersul în gol și rateuri în eșapament și printr-o pornire dificilă, mai ales iarna. Aceste uzuri și deformări se pot cumula cu abateri geometrice rezultate din procesul de fabricație, așa cum se indică în **fig. 7.1**.



**Fig. 7.1.**

O altă defecțiune cu manifestări ce compromit performanțele motorului este ruperea sau slăbirea arcurilor supapelor. În acest caz, mai ales la turații înalte, supapele nu mai au o mișcare în concordanță cu profilul camelor, apărând astfel decalaje ale fazelor de distribuție. Consecințele sunt, printre altele, întoarcerea încărcăturii proaspete în galeria de admisie, eliminarea unei părți din fluidul proaspăt prin galeria de evacuare,



un consum exagerat de combustibil și, evident, reducerea puterii motorului. Defectul apare mai ales la motoarele care prezintă o durată de serviciu foarte mare, precum și la cele care au funcționat timp mai îndelungat la regimuri termice ridicate.

## 7.2 Metode și aparatură

Stabilirea stării tehnice a mecanismului de distribuție se face pe baza unor *parametri de diagnosticare*. Acești parametri de diagnosticare sunt:

- jocul dintre supape și culbutori sau dintre tachet și camă;
- fazele de distribuție;
- zgomotele emise.

Metoda cea mai rapidă și simplă de verificare și în același timp de restabilire a valorilor nominale ale jocului termic se bazează pe utilizarea lamelelor de grosime calibrată (*lere*), evident cu toate limitele procedurii.

După cum se cunoaște, fazele de distribuție influențează substanțial performanțele motorului.

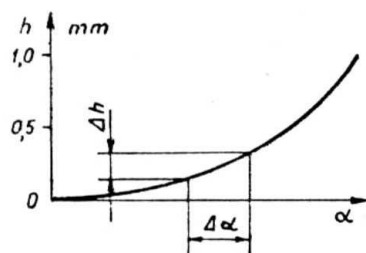


Fig. 7.2.

Modificări mici ale cursei supapei,  $\Delta h$ , datorită uzurilor sau a reglajelor imperfecte produc, la începutul și la sfârșitul cursei, datorită dependenței aproximativ sinusoidale, mari decalaje unghiulare,  $\Delta \alpha$ . Acest aspect este ilustrat în **fig. 7.2** și modifică fazele distribuției, reducând durata de desfășurare a proceselor de schimbare a gazelor. Verificarea fazelor distribuției, la diagnosticare, constă de fapt în verificarea duratei totale a proceselor. În acest scop se utilizează două metode [18, 29].

## 7.3 Metoda statică

Această metodă presupune plasarea pe capătul arborelui cotit a unui disc gradat, la care reperul "0" coincide cu PMI. În dreptul supapei se fixează un ceas comparator și se rotește ușor arborele cotit observându-se începutul ridicării și sfârșitul ridicării supapei. Aceste valori se compară cu datele constructive ale motorului.

## 7.4 Metoda dinamică

Procedeu descris anterior este însă greoi, presupune timp și nu ține seama de efectele dinamice din timpul funcționării motorului, când fazele de distribuție diferă. De aceea se preferă utilizarea stroboscopului ca metodă mai precisă.

Aceste stroboscoape diferă de cele pentru reglajul aprinderii prin unghiul foarte larg al variației momentului producerii impulsului luminos, adică  $300 \div 360$  °RAC.

Stroboscopul se conectează pe fișa de înaltă tensiune a bujiei cilindrului respectiv. Se demontează capacul culbutorilor și se reglează motorul la mers în gol, la turația de  $1.000 \div 1.200$  rpm. Se reglează stroboscopul pentru momentul ridicării și coborârii supapei, față de momentul aprinderii (**fig. 7.3**). În acest mod se vor obține unghiurile  $\alpha_1$  și  $\alpha_2$ . Diferența lor,  $\Delta \alpha = \alpha_2 - \alpha_1$ , reprezintă durata efectivă de deschidere a supapei, când turația este însă menținută constantă pentru a nu modifica avansul la aprindere.

Duratele obținute se compară cu valorile recomandate de fabricantul motorului.

Dacă jocurile termice sunt reglate corect, obținerea unor diferențe mai mari de  $10 \div 15\%$  indică o uzură avansată a pieselor mecanismului de distribuție.

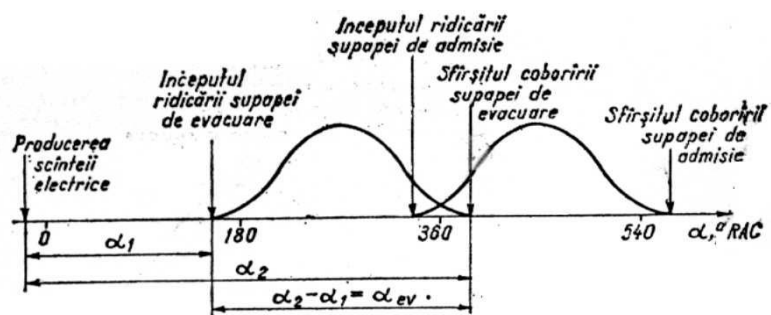


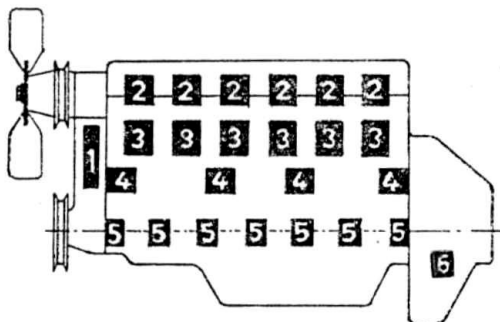
Fig. 7.3.

## DIAGNOSTICAREA UZURILOR PRIN ASCULTAREA MOTORULUI

### 8.1. Generalități

Este o metodă empirică, subiectivă, care poate conduce însă la unele rezultate calitative. Acestea depind în mare măsură de experiența și calificarea personalului care efectuează diagnosticarea.

Există zone preferențiale de ascultare care se indică în **fig. 8.1**. Astfel, dacă motorul este examinat (ascultat) în *zona 1*, se pot semnala defecte la pinioanele de distribuție; în *zona 2*, defecte la supape; în *zona 3*, defecte ale pistoanelor, bolțurilor, segmentilor și lagărelor de bielă; în *zona 4* defecte ale lagărelor arborelui de distribuție; în *zona 5* defecte la lagărele paliere ale arborelui cotit, iar în *zona 6* defecte la ambreiaj și volant.



**Fig. 8.1.**

Ascultarea lagărelor paliere și de bielă precum și a bătăilor bolțurilor se face la temperaturi normale ale agentului de răcire și a uleiului din carterul motorului. Contrar, ascultarea bătăilor provocate de jocul dintre piston și cilindru se face cu motorul rece.

Caracterul bătăilor sau al zgomotelor din motor, intensitatea lor precum și locul apariției lor furnizează unele indicii privind natura defectelor ce urmează a fi remediate prin lucrări de întreținere sau, așa după cum este cazul general, prin lucrări de reparații curente.

Rezultatele ascultării motorului conduc la concluzii care ar putea fi sistematizate în modul următor [7, 18, 26, 29].

**Lagărele paliere** – produc zgomote specifice când jocul între cuzinet și fus este mai mare de 0,1 ... 0,2 mm. Ele se pot auzi în partea de jos a blocului motor, în zona de separare a băii de ulei. Zgomotul este puternic, surd, de nivel coborât. Apare clar la schimbarea bruscă a turației motorului.

**Lagărele de bielă** – zgomotele emise sunt mai vii, mai ascuțite. Se produc de asemenea la modificarea rapidă a turației. Ele încetează brusc la întreruperea aprinderii motorului. Aceste zgomote trebuie ascultate pe peretele blocului, pe cât posibil în zonele ce corespund poziției inferioare și superioare a bolțului bielei.

**Bolțul** – “bătăile” bolțului în bielă sau în piston apar la jocuri care depășesc 0,1 mm. Ele devin perceptibile la regimuri cu turații rapid variabile, în zona superioară a blocului de cilindri. Sunetul este metalic și se estompează de asemenea la întreruperea aprinderii.

**Grupul piston-cilindru** – zgomotul datorat uzurii excesive apare când jocul depășește 0,3 ... 0,4 mm. Se percepe distinct în partea superioară a blocului de cilindri, pe partea opusă axului cu came. Bătăile se aud distinct la turații joase și sunt intense când motorul este rece. Sunetul este sec și dur și se atenuază pe măsură ce motorul se încălzește, fără însă să dispară complet.

**Mecanismul de distribuție** – zgomotele apar mai ales când jocul dintre supapă și culbutor are valori mari, ca urmare a uzurii. Se disting în partea superioară a chiulasei, la orice turație.

Tot în această zonă se distinge și sunetul produs de uzura lagărelor arborelui cu came, mai ales la turații joase. În vederea ascultării acestor zgomote se utilizează stetoscoape, prezentate în **fig. 8.2** și **fig. 8.3**.



Fig. 8.2.

O varianta perfecționată de stetoscop, prezentată în **fig. 8.3**, este un aparat tranzistorizat. El conține un *amplificator de joasă frecvență* 4, ce amplifică semnalele emise de un traductor cu cuarț. Blocul electronic este simplu și este alimentat de două *baterii uscate* de 3V, notate cu 2. *Corpul* 3 este confecționat din material plastic și este prevăzut cu *tija palpatoare* 5. *Cablul* 1 transmite impulsurile electrice pe care *receptorul* 6 le transformă în semnale acustice.

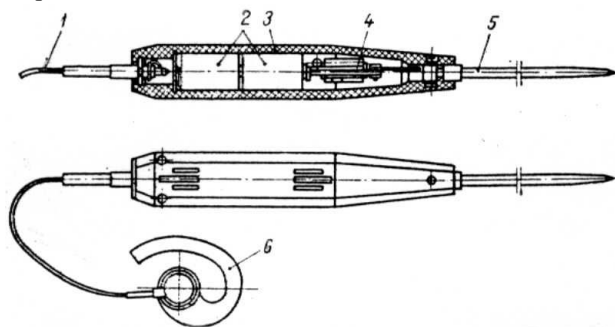


Fig. 8.3.

De menționat că, la jocuri mari ale mecanismului distribuției, zgomotele se aud distinct și cu urechea liberă. Astfel, în cazul uzurii culbuturilor, reglajul distribuției cu ajutorul *lerelor* nu duce la rezultate acceptabile. Ca urmare a concavității culbutorului, jocul real este mult mai mare decât cel măsurat. Într-o astfel de situație se impune recondiționarea culbutorului sau înlocuirea sa.

Există tendința modernă de a se *analiza sunetele* emise de motor cu ajutorul unei aparaturi specifice. Principiul metodei constă în faptul că *frecvența* sunetelor emise datorită *jocului* între *două piese mobile* aflate în contact este specifică perechii de piese, *amplitudinea* depinde de mărimea jocului, iar faza  $\varphi$  este determinată de faptul că un zgomot se produce într-un moment bine precizat pe ciclul funcțional al motorului. Mărimea fazei permite deci localizarea zgomotului în timp. Pe acest principiu au fost dezvoltate aparate numite *strobatoare* care analizează, cu ajutorul unui selector de fază ce indică momentul când se produce zgomotul, semnalele sonore culese de pe structura motorului, la intervale de timp bine stabilite (momentul aprinderii, momentul trecerii pistonului prin PMI. etc.) când se produc de fapt șocuri caracteristice. Aprecierea jocului se face după amplitudinea semnalului sonor [29].

*Spectrometrele de sunete* înregistrează spectogramele sunetelor de diferite frecvențe și amplitudini, prin prelucrarea lor apreciindu-se jocurile.

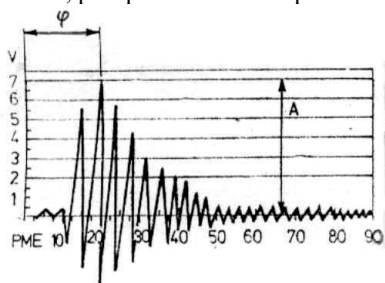
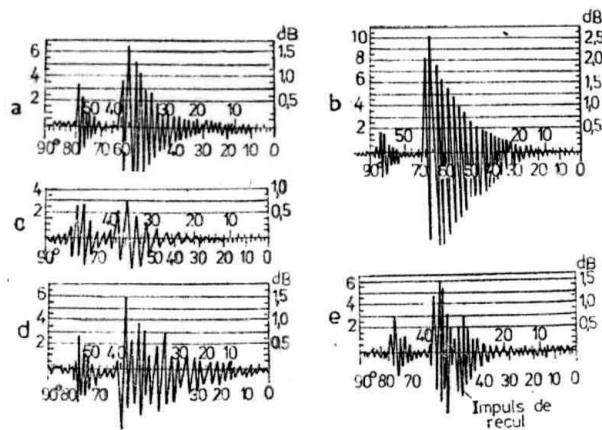


Fig. 8.4.

În **fig. 8.5.a** se prezintă vibrograma unei supape de evacu-are ce funcționează corect. După depășirea PMI, la aproximativ  $12^{\circ}$  RAC, supapa ia contact violent cu sediul. Șocul apărut produce reculul supapei care, abia după încă  $18^{\circ}$  RAC, adică la  $30^{\circ}$  RAC după PMI, revine pe sediu cu închidere corespunzătoare și vibrații caracteristice. Jocul exagerat conduce la micșorarea fazei și

la amplitudini mai mari (**fig. 8.5.b**), în timp ce un joc mic produce creșterea fazei însoțită de reducerea amplitudinii (în **fig. 8.5.c**).



**Fig. 8.5.**

după PMI, cu amplitudine apropiată de aceea a șocului primului contact [26].

Problema constă însă în faptul că rezultatele obținute pe un motor nu pot fi generalizate. Chiar și pentru același motor, ele depind de regimul de turație și de cel termic, de calitatea uleiului și de zona de amplasare a traductorului.

În **fig. 8.5.d** apare situația tipică unui joc mărit între tija supapei și ghidul acesteia; uzura pronunțată determină supapa să nu mai ia contact normal cu sediul, abătându-se lateral față de acesta. Din acest motiv apar vibrații neuniforme, de durată îndelungată și amplitudini reduse.

Vibrograma din **fig. 8.5.e** apare în cazul slăbirii resortului supapei. Se observă că arcul nu mai poate asigura menținerea închisă a supapei, permițând deschiderea ei ulterioară, oscilatorie, la circa 40°RAC

## DIAGNOSTICAREA MOTOARELOR DE AUTOMOBIL PRIN DETERMINAREA CONȚINUTULUI DE OXID DE CARBON DIN GAZELE EVACUATE CU AJUTORUL ANALIZORULUI ELECTRIC *FAST-ECO*

### 9.1. Generalități. Componenta și geneza produșilor poluanți din gazele de evacuate.

Poluarea produsă de automobile, prin efectele ei, se face tot mai simțită. Din acest motiv ea trebuie analizată complex și anume în planuri diferite. Este vorba în primul rând de poluarea chimică, produsă majoritar de substanțele nocive emise de motor și în al doilea rând de poluarea sonoră la care motorul este, de asemenea, sursa principală.

Substanțele nocive emise de automobil au la rândul lor două cauze diferite:

- arderea combustibilului în motor;
- izolarea imperfectă a cavităților interioare ale motorului și rezervorului de combustibil, față de atmosferă.

Astfel, prin ardere sunt eliminate în atmosferă, odată cu gazele de evacuare, circa 65% din totalul substanțelor poluante, în timp ce, din interiorul motorului provine un procent de 15% al acestor componente chimice nocive. Etanșarea imperfectă a rezervorului de combustibil și a carburatorului conduc la evacuarea în atmosferă, datorită evaporării combustibilului, a 20% din substanțele nocive. Asta înseamnă că, înainte de adoptarea primelor legislații antipoluante, aproape 20% din benzina introdusă în rezervorul unui automobil se risipea în mediul ambiant. Pentru un automobil echipat cu un motor de 1400 cmc (cazul Daciilor produse în ultimii ani) care parcurge anual, în medie aproximativ 30.000 km și consumă în medie 8 l de benzină/100 km, risipa de combustibil ar fi de:  $0,2 \times 8 \times 30000/100 \hat{=} 480$  l/an. Se poate astfel lesne concluziona că limitarea poluării chimice reprezintă nu numai o protejare a mediului ambiant, ci și utilizarea mai rațională a combustibililor.

Produsele nocive din atmosferă au la bază atât componente primare, cât și componente secundare.

**Componentele primare** sunt substanțe în stare gazoasă, emise direct de sursă, cum este cazul oxidului de carbon, a hidrocarburilor sau a oxizilor de azot, dar și în stare solidă, sub formă de particule de plumb sau funingine. **Componentele secundare** sunt smogul fotochimic și smogul umed (denumirea provine din limba engleză: smoke (fum) + fog (ceață)).

Nocivitatea emisiilor poluante nu este de loc de neglijat. Astfel, oxidul de carbon (CO) are un efect toxic asupra organismului deoarece, în combinație cu hemoglobina din sânge formează carboxihemoglobina care împiedică alimentarea țesuturilor cu oxigen. Intoxicația cu oxid de carbon produce dureri de cap, oboseală, amețeli, tulburări de vedere, irascibilitate, vomă, leșin, comă, moarte.

**Hidrocarburile**, notate convențional cu HC, în special formaldehida și acroleinele, se pot identifica prin miros urât. În general, au acțiune cancerigenă.

**Oxizii de azot**, în special monoxidul de azot (NO) și bioxidul de azot (NO<sub>2</sub>) din gazele de evacuare, în care cel de al doilea apare în proporție de 1/10, ..., 1/20, sunt nocivi deoarece, la rândul lor, fixează hemoglobina din sânge, irită ochii și căile respiratorii. Oxizii de azot sunt mai periculoși în calitate de componente secundare. Ei se notează convențional cu Nox, chiar dacă se referă la NO și NO<sub>2</sub>.

**Particulele** sunt constituite din carbon sau din plumb și compușii lui. Particulele de funingine reduc vizibilitatea. Cele de plumb sunt periculoase deoarece, la dimensiuni mai mici de 1 μm, se mențin în aer sub formă de aerosoli și ajung în organism prin căile respiratorii.

**Smogul fotochimic** reprezintă o ceață caracteristică unor zone geografice. El se formează într-o atmosferă uscată, la temperaturi mai mari de 20° C, în prezența razelor solare. Este iritant

atât pentru căile respiratorii cât și pentru ochi și reduce vizibilitatea. Formarea lui are la bază, în mod probabil, un mecanism de 13 reacții chimice înlănțuite. Acest mecanism este declanșat și dezvoltat de monoxidul de azot și de hidrocarburi, în prezența luminii.

**Smogul umed** se formează într-o atmosferă umedă, la temperaturi mici, sub 4<sup>o</sup> C. Substanțele componente sunt particulele solide de funingine, oxidul de carbon precum și oxizii de sulf. Acțiunea sa dezastruoasă s-a manifestat cel mai puternic la Londra, în anul 1952, când din această cauză au decedat 3.500 de persoane. Din acest motiv el se mai numește și **smog londonez**.

Nocivitatea emisiilor poluante depinde atât de concentrația acestora cât și de durata expunerii organismului uman. Concentrația maximă, într-un interval de timp, a fost denumită **prag nociv**. Pragurile nocive se exprimă prin valori foarte reduse, ceea ce necesită echipamente de măsură precise.

Concentrațiile maxime se măsoară în cm<sup>3</sup> de substanță nocivă, raportată la 1 m<sup>3</sup> de aer. Deoarece 1 cm<sup>3</sup> este a milioana parte dintr-un m<sup>3</sup>, se folosește în mod curent ca unitate de măsură **partea pe milion** (ppm). În aceste condiții, pragurile nocive se vor putea exprima în mod precis. Influența concentrației de oxid de carbon și a duratei de expunere asupra conținutului relativ de carboxihemoglobină este prezentată în general sub forma unor diagrame. Cu ajutorul acestor diagrame se pot stabili pragurile nocive în funcție de timpul de expunere. Se observă că o concentrație mai mică de 100 ppm timp de 10 ore este deja dăunătoare. În România, pragul nociv a fost stabilit la 4,8 ppm/0,5 ore și 1,6 ppm/24 ore.

## 9.2. Principii și instalații de control al produșilor poluanți

Stabilirea compoziției chimice atât în gazele de ardere cât și în flacără se poate face, în principiu, pe două căi:

- prin analiză chimică directă, cea mai semnificativă metodă fiind analiza spectrală și,
- prin analiza imediată sau după un timp de conservare a probelor de gaze extrase.

Metodele și tehnica de lucru folosite depind, în ambele variante, de natura substanțelor analizate, de stabilitatea compușilor chimici, precum și de existența radicalilor liberi și a atomilor. Tocmai de aceea trebuie menționat, de exemplu, faptul că prelevarea probelor de gaz în vederea analizei compușilor chimici instabili presupune precauții speciale.

În tehnica diagnosticării motoarelor de automobil, în majoritatea situațiilor se utilizează analiza imediată a gazelor evacuate.

Precizia cu care se măsoară concentrația substanțelor depinde de aparatura folosită.

## 9.3. Măsurarea concentrației oxidului de carbon

Așa cum s-a arătat, concentrația oxidului de carbon în gazele de evacuare depinde, în principal, de dozajul amestecului. Din acest punct de vedere dozajul constituie un criteriu de corelare a cantității de combustibil și de aer care participă la ardere. Notat cu **d**, el reprezintă raportul:

$$d = \frac{G_c}{G_a}$$

unde :  $G_c$  este cantitatea sau debitul de combustibil, iar  $G_a$  semnifică cantitatea sau debitul de aer.

În cazul oxidării stoechiometrice, pentru arderea a 1 kg de benzină sunt necesari aproximativ 14,8 kg aer, în timp ce pentru 1 kg de motorină este nevoie de circa 14,5 kg aer.

Asimilând aceste cantități cu valoarea 15, coeficientul de dozaj teoretic, notat  $d_t$ , pentru ambele cazuri devine:

$$d_t = \frac{1}{15} \cong 0,0666$$

Inversul coeficientului de dozaj, notat cu  $d'$ , oferă o mai mare ușurință de calcul și de comparație, iar valoarea sa teoretică va fi:

$$d'_t = \frac{1}{d_t} = \frac{G_a}{G_c} \cong 15$$

Pe baza acestei valori se poate face următoarea discuție privind amestecul dintre aer și combustibil:

- $d < 15$ , amestecul este bogat;
- $d = 15$ , amestecul este stoechiometric;
- $d > 15$ , amestecul este sărac.

Ambii coeficienți definiți mai sus prezintă însă dezavantajul că nu se precizează în mod direct calitatea amestecului, adică cât de sărac sau cât de bogat este acesta. Inconvenientul se evită prin folosirea coeficientului de exces de aer,  $\lambda$ , care se stabilește ca raportul dintre cantitatea de aer de care dispune 1 kg de combustibil,  $G_a$  și cantitatea de aer necesară arderii stoechiometrice a acestei cantități de combustibil,  $G_{at}$ :

$$\lambda = \frac{G_a}{G_{at}}$$

Cu titlu de observație se poate remarca că  $\lambda$  este legat de  $d$  prin următoarea dependență:

$$d = \frac{G_c}{G_a} = \frac{G_c}{\frac{G_{at}}{\lambda}} = \frac{1}{\lambda} d_t$$

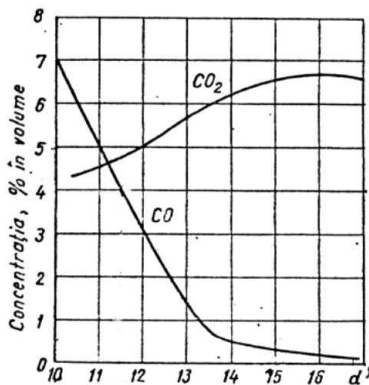


Fig. 9.1.

În general, se folosesc două tipuri de aparate: *analizoare electrice* și *analizoare cu raze infraroșii*.

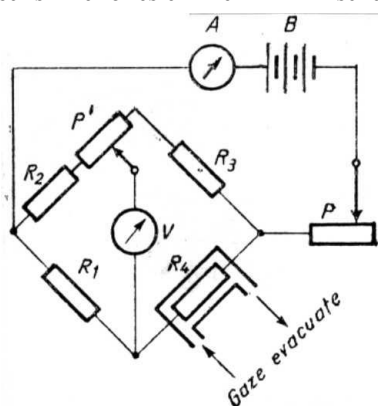
#### 9.4. Utilizarea analizorului electric

Cel mai simplu analizor electric, cu posibilități de utilizare aproape universale, este analizorul prin conductibilitate termică, cu traductor electric rezistiv. Măsurarea se bazează pe diferențele de conductibilitate termică a gazelor din amestec. Traductorul, montat într-o coloană prin care curge cu viteză constantă gazul analizat, este încălzit electric și atinge o temperatură care depinde de conductibilitatea termică a gazului. Detectorul are în general un al doilea traductor, identic cu primul care se află într-o coloană prin care circulă un gaz purtător pur. Diferența de



temperatură între cele două traductoare se transformă astfel într-o diferență de rezistență electrică, măsurată într-o punte Wheatstone. Posibilitatea detectorului de a distinge compușii din amestecul de gaze analizat depinde evident de existența unor diferențe de conductibilitate termică bine marcate. Din punct de vedere al gazului purtător, cel mai indicat este heliul, caracterizat printr-o înaltă conductibilitate termică.

Din acest motiv, analizoarele electrice sunt foarte răspândite. Principiul de funcționare descris anterior este materializat în schema din **fig. 9.2**.



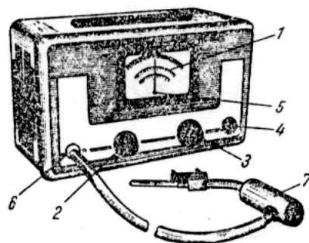
**Fig. 9.2.**

Aparatul cuprinde o punte Wheatstone cu voltmetrul V și ampermetrul A. Alimentarea se face de la bateria B, prin intermediul potențiometrului P, utilizat pentru reglajul alimentării. Rezistențele  $R_1$  și  $R_2$  au aceeași valoare, iar potențiometrul P' este utilizat pentru echilibrarea punții. În acest scop este folosit și voltmetrul V. Rezistențele  $R_3$  și  $R_4$  sunt de aceeași valoare.  $R_3$  se află însă în aer liber, aerul având rolul gazului purtător pur, iar  $R_4$  este baleiată de gazele de evacuare. În acest scop, rezistența  $R_4$  se află montată într-o casetă prin care circulă gazele evacuate care în prealabil au fost răcite la temperatura aerului, iar umiditatea condensată și separată.

Gradul diferit de răcire al rezistențelor  $R_3$  și  $R_4$ , consecință a diferenței dintre coeficienții globali de transfer termic care apar în aer și în gazele

evacuate, face ca valoarea lui  $R_4$  să se modifice și puntea să se dezechilibreze. Când tensiunea de alimentare a rezistenței  $R_4$  nu variază, atunci temperatura ei depinde numai de cantitatea de căldură cedată gazelor din camera de măsură. Acest lucru este influențat atât de coeficientul de convecție, prin viteza de circulație, cât și de conductibilitatea termică a gazelor care circulă prin această cameră de măsură. De aceea, în camera de măsură, în dreptul Rezistenței  $R_4$ , se recomandă menținerea unui regim difuziv de transfer termic.

În gazele de evacuare, diferențe mari în ceea ce privește coeficientul de conductibilitate au bioxidul de carbon, bioxidul de sulf și hidrogenul, restul ne reprezentând un astfel de fenomen. Concentrația bioxidului de sulf și a hidrogenului nu depind însă de dozaj. Tocmai de aceea determinarea se bazează deci pe conținutul de bioxid de carbon. Rezultă de fapt că atât determinarea concentrației de oxid de carbon cât și a dozajului se fac indirect, prin determinarea conținutului de bioxid de carbon din gazele evacuate.



**Fig. 9.3.**

Pentru mărirea sensibilității se prevăd în realitate două rezistențe etalon și două rezistențe de măsură.

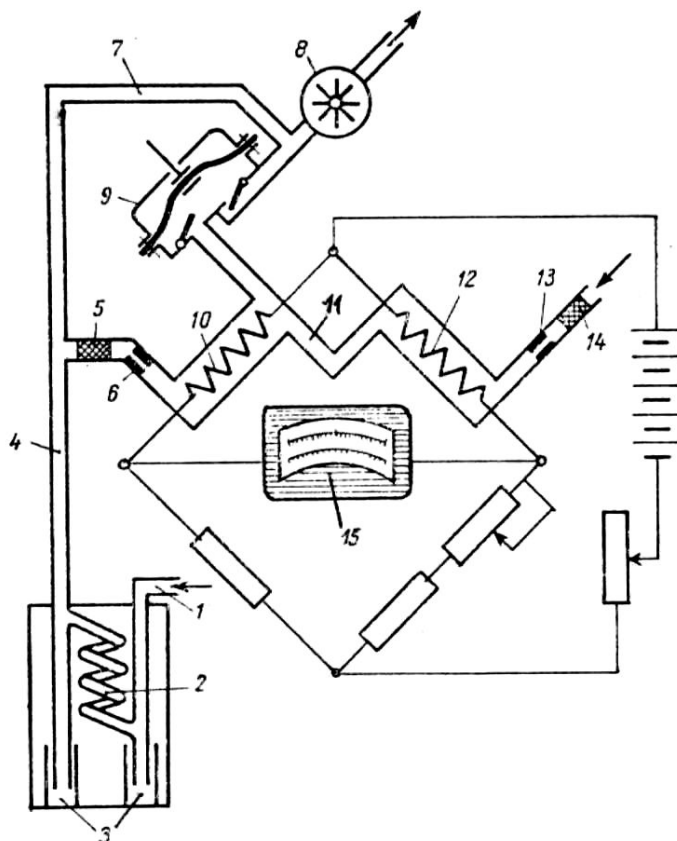
Scala aparatelor este gradată, de regulă, în valori ale inversului dozajului,  $d'$ , deoarece conductibilitatea termică a  $CO_2$  din gaze este proporțională cu acesta. Este cazul aparatelor Crypton BA-64, englezesc și Elkon A-105.

Analizorul portabil Crypton este prezentat în **fig. 9.3**. Părțile sale componente

sunt: scalele indicatoare 1, captatorul de gaze arse 7, racordul de aducțiune a gazelor în aparat 6, comutatorul pentru încălzirea rezistențelor 2, potențiometrul pentru echilibrarea punții 3, lampa de control 4 și butonul de aducere a acului la zero, 5. Domeniul de măsură pentru  $d'$  este cuprins între 10 și 15. El poate fi utilizat pentru redarea dozajului la mers în gol, precum și pentru verificarea pompei de accelerație și a înfundării filtrului de aer.

**DIAGNOSTICAREA MOTOARELOR DE AUTOMOBIL PRIN DETERMINAREA  
CONȚINUTULUI DE OXID DE CARBON DIN GAZELE EVACUATE CU AJUTORUL  
ANALIZORULUI ELECTRIC CU POSTARDERE PALTEST JT 220**

Determinarea mai precisă a concentrației oxidului de carbon se face însă cu analizoare electrice cu postardere. Schema de principiu a unui astfel de analizor este prezentată în **fig. 10.1.**



**Fig. 10.1.**

Puntea Wheatstone cuprinde aceleași elemente, numai că rezistențele etalon 12 și de măsură 10, sunt încălzite la  $700 \dots 800^{\circ} \text{C}$ . În camera rezistenței etalon 12, confecționată din platină, intră din atmosferă aer filtrat de filtrul 14 și dozat de jiclorul 13. Gazele de ardere se aduc de la sonda de prelevare, montată în țeava de eșapament, la conducta 1, de unde urmează un traseu de separare a apei, în separatoarele 3 și de răcire în serpentina 2. Din conducta 4, o parte din gaze sunt aspirate în camera rezistenței de măsură 10, după ce au fost filtrate de filtrul 5 și dozate de orificiul calibrat 6. Restul gazelor sunt evacuate în atmosferă prin canalizația 7, de către pompa 8. Pompa cu membrană 9, aspiră pe de o parte gaze de eșapament, iar pe de altă parte aer, prin canalizația 11, din camera rezistenței etalon 12. Din camera 12, aerul încălzit este aspirat în camera rezistenței de măsură 10, în care se produce arderea substanțelor combustibile din gazele de ardere,

adică oxidul de carbon și hidrogenul. Oxidul de carbon este în gazele evacuate într-un raport sensibil proporțional cu dozajul amestecului, astfel încât aparatul de măsură 15 poate fi etalonat atât pentru măsurarea conținutului de oxid de carbon cât și a inversului dozajului d'. Când valoarea rezistenței 10 se mărește odată cu temperatura sa, care crește proporțional cu cantitățile de oxid de carbon și de hidrogen arse, puntea se dezechilibrează și aparatul 15 va indica concentrația de oxid de carbon în gazele evacuate și, deci, indirect, dozajul.

Dintre aparatele care funcționează pe acest principiu cităm următoarele:

- Bosch EFAW-173;
- Crypton RD-64;
- Cambridge;
- Paltest JT-220.

## DIAGNOSTICAREA MOTOARELOR DE AUTOMOBIL PRIN DETERMINAREA CONȚINUTULUI DE OXID DE CARBON DIN GAZELE EVACUATE CU AJUTORUL ANALIZORULUI CU RAZE INFRAROȘII

### 11.1 Generalități. Fenomenologie.

**Analizoarele cu raze infraroșii** sunt aparate cu o precizie mai ridicată. Ele utilizează analiza spectroscopică fără dispersie, într-o bandă distinctă dar relativ largă de lungimi de undă, plasată în domeniul infraroșu, folosind gazul analizat pur pentru detecția prezenței sale în amestec.

Astfel, se cunoaște faptul că gazele poliatomice cu structuri eterogene absorb în mod selectiv energia radiantă în infraroșu, în funcție de lungimea de undă specifică a radiațiilor în acest spectru.

Analiza în infraroșu, în acest caz, se bazează pe compararea energiei transmise unei membrane elastice pe două căi diferite, adică printr-o coloană formată din gazul analizat și printr-o alta care nu reține radiația infraroșie.

### 11.2. Analizoare. Principii de funcționare.

În **fig. 11.1** este prezentată schema unui astfel de analizor. Tubul 6 conține un gaz care nu reține radiațiile infraroșii. Tubul 5 este intercalat în circuitul curentului de gaze evacuate, supuse analizei. În acest tub se absoarbe energie, proporțional cu coeficientul de absorbție  $A$  și cu numărul de molecule ale substanței absorbante, întâlnite pe drumul optic. Prin urmare, absorbția energiei în tubul 5 se poate exprima prin următoarea lege:

$$W_a = W_i(1 - e^{-A \cdot c \cdot l})$$

unde  $W_a$  este energia absorbită,  $W_i$  energia incidentă,  $c$  reprezintă concentrația substanței analizată, iar  $l$  lungimea tubului. Pentru valori reduse ale exponentului  $Acl$ , se poate aproxima:

$$W_a \cong AclW_i$$

energia absorbită devenind proporțională cu concentrația substanței analizate. Circuitul gazelor evacuate conține sonda 1, separatorul de apă 2, filtrul fin 3 și pompa cu membrană 4 care asigură un debit constant de gaze prin tubul de măsură 5. Tuburile au la o extremitate două becuri identice 8, de la care lumina se transmite prin filtre infraroșii ce lasă să treacă numai radiațiile cu lungimi de undă de 2 ... 10  $\mu\text{m}$ . Precizia măsurării se îmbunătățește dacă radiațiile sunt trimise către cele două tuburi sub forma unor impulsuri cu frecvența de 6 ... 10 Hz. Aceste semnale sunt obținute cu ajutorul discului cu fante 15, rotit de motorul electric 9. În acest mod se obține o încălzire ciclică a compartimentelor situate de o parte și de alta a membranei elastice.

La capătul opus al tuburilor se află detectorul 7 format din două camere despărțite între ele de membrana elastică 13. Această membrană elastică 13, împreună cu grila fixă 14, formează un traductor capacitiv. Oscilațiile membranei au frecvența dependentă de numărul de fante și de viteza de rotație a discului. Traductorul descris este introdus în circuitul de amplificare 10, precum și în circuitul sistemului de citire care este format din aparatul de indicare 11 și înregistratorul 12. Detectorul conține oxid de carbon cu înalt grad de puritate.

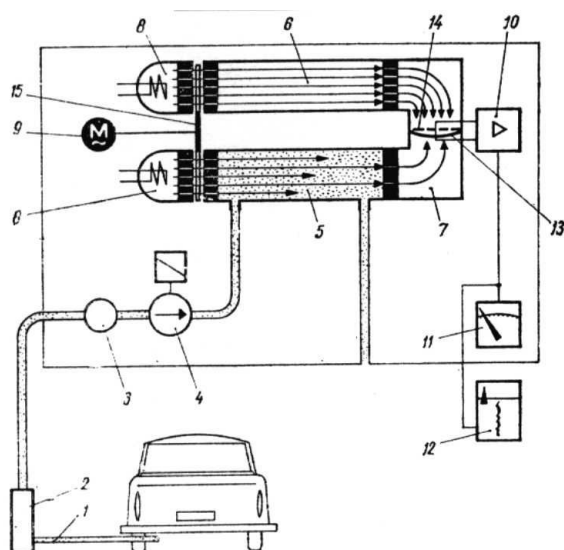


Fig. 11.1.

capacitatea traductorului. Variația capacității lui este proporțională cu concentrația de oxid de carbon din gaze. Ea poate fi citită pe aparatele de indicare 11 sau de înregistrare 12.

O dificultate de fond în aplicarea acestei metode rezultă din posibilitatea ca în amestecul analizat să existe mai multe gaze care absorb energie în banda de frecvențe cu care se lucrează. Astfel, la analiza altor compuși, de exemplu a hidrocarburilor, absorbția lor în infraroșu interferează cu aceea a vaporilor de apă. Pentru eliminarea acestei influențe asupra substanței analizate, se recomandă utilizarea unei celule-filtru, poziționată în serie cu celula de prelevare și notată cu 4 în schema din **fig. 11.2**, în care celelalte componente se identifică acum cu ușurință. Introducând în această celulă-filtru substanța interferență într-o concentrație foarte ridicată, detectorul nu va mai primi energie în benzile de frecvențe comune cu substanța analizată, influența concentrației substanței perturbatoare din proba de gaze fiind practic eliminată.



Fig. 11.2.

Pe acest principiu funcționează aparate ca:

- Infralyt T, care a fost produs de firma Junkalor;
- Irgo 20, realizat de firma Grubb Parsons - Anglia.

### 11.3. Aparatura utilizată

Pe baza principiilor de măsură expuse, la ora actuală există o mare diversitate de aparate pentru determinarea produșilor poluanți, a coeficientului de exces de aer, a oxigenului etc. din gazele de eșapament.

Ele sunt compacte, au precizie crescută și prezintă facilități din punct de vedere al operatorului.

În **fig. 11.3** se prezintă un astfel de analizor, produs de firma *Tecnotest* din Italia. Este modelul *488 Plus*, cu performanțe îmbunătățite care face parte din categoria analizatoarelor cu raze infraroșii. Domeniile de măsură extinse pentru diversele componente demonstrează posibilitățile analizorului. Astfel, CO poate fi măsurat în plaja  $0 \div 9,99\%$ , cu precizie de  $0,01\%$ , hidrocarburile într-un domeniu cuprins între 0 și 9999 ppm (unități de volum), precizia fiind de 1 ppm. Oxigenul se măsoară între limitele  $0 \div 25\%$ , plajă care este însă împărțită în două domenii, în funcție de

precizia măsurătorii. Astfel, de la 0% la 4%, determinarea procentului volumic de  $O_2$  se face cu precizia de 0,01%, în timp ce, în cel de al doilea domeniu, de la 4% până la 25%, precizia este de zece ori mai redusă, adică 0,1%.

Opțional, aparatul poate fi dotat în vederea analizei NOx-ului, într-un domeniu de măsură de la 0 la 2.000 ppm, cu precizie de 5 ppm.



**Fig. 11.3.**

Excesul de aer se poate determina de la 0,5 la 2, cu precizia de 0,001.

Instalația măsoară, de asemenea, turația motorului până la 9990 rpm, cu precizia de 10 rpm, temperatura uleiului din motor pornind de la 5 °C până la 200 °C, cu precizia de 1 °C.

Timpul de răspuns este sub 10 secunde, debitul de gaze prelevat în vederea analizei fiind de aproximativ 8 l/min.

Vaporii de apă din gaze care au fost condensați și separați sunt evacuați automat în mod continuu.

Calibrarea și resetarea aparatului se fac tot automat, pe cale electronică. El poate fi acționat și de la distanță, prin intermediul unei telecomenzi dedicate, care se poate observa în aceeași figură.

#### **11.4. Metodologia de lucru**

Testarea motoarelor presupune în prealabil ca sistemul de aprindere (al motorului) să fie în foarte bună stare și cu reglaje corecte, iar motorul să fie încălzit. Analizorul se etalonează în prealabil prin aducerea acului la zero.

Sonda se introduce în eșapament pe o lungime de circa 30 cm, pentru a se preveni amestecarea gazelor cu aerul.

Cu aceste analizoare se verifică calitatea amestecului și conținutul de oxid de carbon la mers în gol și turații superioare, precum și în regim de accelerare.

Pentru regimul de ralanti, se măsoară concentrația de oxid de carbon după aproximativ 90 ... 120 sec.

Se poate, de asemenea, verifica și funcționarea pompei de accelerație.

Analizorul poate fi utilizat și pentru determinarea altor produse de ardere precum bioxidul de carbon, oxigenul, azotul, hidrocarburile. În acest scop detectorul trebuie să conțină gazele de referință corespunzătoare.

## DIAGNOSTICAREA MOTOARELOR DIESEL DE AUTOMOBIL PRIN DETERMINAREA DENSITĂȚII FUMULUI EMIS UTILIZÂND FUMMETRUL CU FILTRARE

### 12.1. Generalități

Este o metodă de diagnosticare aplicabilă motoarelor cu aprindere prin comprimare.

Apariția fumului dens la evacuare constituie indiciul sigur al unei defecțiuni. Culoarea, nuanța și densitatea fumului, deși nu duc întotdeauna la rezultate precise, constituie totuși criterii de apreciere a naturii defecțiunii.

Fumul **negru** sau **cenășiu** indică o **ardere incompletă**, în timp ce fumul **albăstrui**, generat de arderea uleiului, indică **uzura cuplurilor piston - cilindru** sau **supapă - ghid**. Fumul **albicios** care apare la pornirea la rece a motoarelor, indică o funcționare **sub temperatura de regim** a motorului, deci o **deficiență a sistemului de răcire**.

Fumul din gazele arse evacuate în atmosferă este constituit dintr-o suspensie de aerosoli solizi și lichizi. El reprezintă, din acest punct de vedere, o variabilă complicată care trebuie caracterizată prin mai multe mărimi. Măsurarea se face din acest motiv indirect și anume: prin caracteristicile chimice și fizice (concentrație masică, repartiție dimensională) și prin evaluarea efectelor sale.

Exceptând metodele chimice care nu se pretează la măsurători rapide, se folosesc trei procedee pentru măsurarea densității fumului în gazele de evacuare, bazate pe evaluarea efectelor sale și anume:

- prin filtrare,
- prin absorbție,
- prin reflexie.

Pe aceste principii s-au construit aparate care stabilesc **cifra de fum**, numite **fummetre**.

### 12.2. Descrierea aparaturii

La fummetrele bazate pe metoda filtrării, gazele evacuate sunt forțate să străbată un filtru care reține funinginea. Aprecierea cantității de funingine se face fie pe cale vizuală, fie prin fotometrie, fie prin cântărire, fie prin ardere.

Dintre aceste aparate, fummetrul *Bosch EFAW* se bazează pe citirea fotoelectrică a gradului de înnegrire a unei hârtii filtrante care a fost traversată de gazele de evacuare. Aparatul este descris în **fig. 12.1** [18].

Acest aparat are o pompă cu un volum de 330 cmc. La unul din capetele *cilindrului 9* există *capacul mobil 12* care conține *hârtia de filtru 11*. *Piesa 12* se fixează cu *resortul 13* și *capacul 14*. Prin *racordul 15*, piesa este pusă în legătură prin intermediul *tubului 16*, cu *sonda de prelevare 17* care se plasează în *țeava de evacuare 18* a motorului.

Înainte de efectuarea măsurătorii, *pistonul 10* se împinge spre dreapta până când canalul circular al *tijeii 1* ajunge în dreptul bilelor. Pătrunderea bilelor în canalul tijeii realizează deblocarea *piesei 5*, iar *arcurile 4* o împing astfel spre dreapta, blocând tija și pistonul în această poziție. În vederea prelevării probei se acționează energic *para 19*. Aerul pompat de ea împinge spre stânga *piesa 5*. Când locașul *piesei 5* ajunge în dreptul bilelor, acestea sunt împinse spre exterior sub acțiunea *arcului 2* care trage tija și pistonul spre stânga, efectuând astfel aspirația gazelor de ardere prin hârtia de filtru care se va înnegri datorită reținerii funinginii.

Gradul de înnegrire al hârtiei se măsoară cu o fotocelulă care determină intensitatea luminii reflectate pe pata de pe filtru unde este reținută funinginea.

În acest scop aparatul dispune de *microampermetrul 21*, de *potențiometrul 25* pentru aducerea la zero, de *becul 22* și, bineînțeles, de *celula fotoelectrică circulară 23*. Aparatul se conectează la o sursă de 12 V.

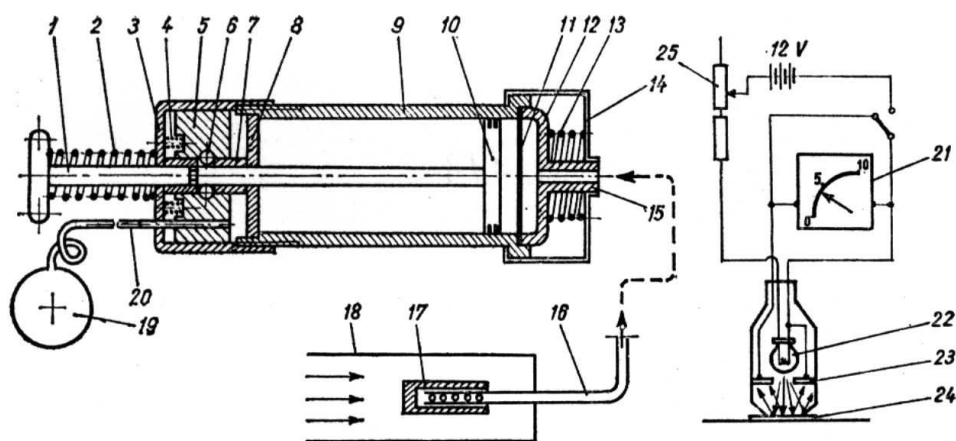


Fig. 12.1.

Elementul fotoelectric se așează pe *hârtia de filtru înnegrită 24*. În acest fel, o parte din lumina emisă de *lampa 22* va fi reflectată de filtru pe celulă, într-un raport invers proporțional cu gradul ei de înnegrire. Celula va emite un curent ce se transmite *aparaturii 21*. Scala lui este divizată în zece unități. Astfel, gradația zero corespunde reflexiei hârtiei albe, iar gradația zece absorbției totale a luminii.

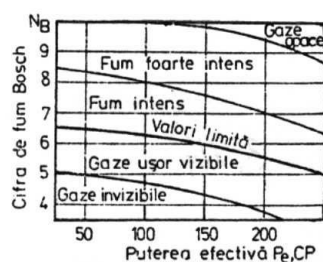


Fig. 12.2.

În conformitate cu *scala Ringelman* se stabilește, în funcție de puterea nominală a motorului, dacă gradul de fum determinat se află sub/sau deasupra limitei de fum. *Scala Ringelman* se prezintă în **fig. 12.2**.



## DIAGNOSTICAREA MOTOARELOR DIESEL DE AUTOMOBIL PRIN DETERMINAREA DENSITĂȚII FUMULUI EMIS UTILIZÂND FUMMETRUL CU ABSORBȚIE

### 13.1. Generalități

La fummetrele cu absorbție, evaluarea opacității fumului se face prin determinarea gradului de reducere a intensității luminii emise de o sursă la traversarea unei coloane de lungime dată, în care circulă gazele analizate.

Gradul de reducere a intensității luminii este dependent de coeficientul de absorbție  $\kappa$ , coeficient care rezultă din relația ce exprimă cantitatea de lumină  $\phi$  care ajunge la celula fotoelectrică:

$$\phi = \phi_0 e^{-\kappa L} \quad (13.1)$$

unde  $\phi_0$  este fluxul emis de sursa luminoasă și  $L$  distanța dintre sursă și celulă. Cum însă  $\phi_0$  și  $L$  sunt constante ale analizorului, evident  $\phi$  se modifică numai datorită variației lui  $\kappa$ , ca urmare a schimbării gradului de absorbție în masa gazoasă din tubul de măsură.

### 13.2. Metode și aparatura de diagnosticare

Dintre fummetrele cu absorbție se citează *fummetrul Hartrige*, prezentat în **fig. 13.1**. El este realizat de firma BP (British Petroleum). În cazul acestui aparat, gazele analizate circulă practic în flux continuu prin *tubul 3*. Din acest motiv, *tubul 3* este deschis la ambele capete. Tubul are o lungime de 407 mm. De o parte și de alta se află amplasate *lampa 4* și *celula fotoelectrică 7*. Așa cum s-a arătat, gradul de fum este estimat datorită absorbției luminii în gaz. În vederea aducerii la zero a indicatorului, care este un aparat din categoria ampermetrelor, se utilizează cel de al doilea

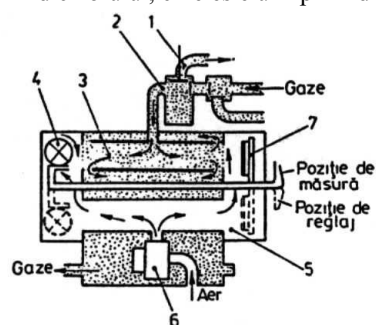


Fig. 13.1.

**Figura 13.2** prezintă celula de măsurare 9010 produsă de firma MOTORSCAN. Gestiunea semnalelor și a principalelor funcții este asigurată de microprocesorul intern care, printr-o ieșire externă RS 232, permite conectarea la o aparatură diversă, mergând de la cea pentru afișarea și imprimarea rezultatelor până la un computer PC.

Pentru ușurarea poziționării și a diverselor operații se observă că modulul este plasat pe o masă mobilă care servește și drept suport pentru diversele accesorii, cabluri etc. Aparatul este conceput să răspundă dezideratelor impuse de principalele norme actuale (EEC 72/306; ISO 3173, ș.a.).

Aceeași firmă produce modelul EKOS 9000. Este un aparat fiabil, cu precizie bună și dimensiuni relativ reduse (610x230x220 mm). Opacitatea este măsurată între 0 și 100%, cu

precizia de 0,1%, iar coeficientul de opacitate între 0 și 9,99  $m^{-1}$ , cu precizia de 0,01  $m^{-1}$ . Întocmai ca la majoritatea aparatelor, turația motorului poate fi măsurată între 0 și 9990 rpm, cu precizia de 10 rpm.



**Fig. 13.2.**

Aparatul este dotat cu stroboscop și senzor de detectare a PMI. Afișajul grafic, de înaltă rezoluție, cu cristale lichide iluminate și contrast reglabil, asigură descrierea curbelor de variație a avansului la injecție în funcție de turație, de variație a opacității cu turația și de variație a opacității în timp.

Temperatura uleiului din motor se poate determina în intervalul 0 °C ÷ 400 °C.

Sursa de iluminare a celulei de măsură este o lampă halogenă cu puterea de 10 W, alimentată la 6 V, receptorul fiind, în mod clasic, o fotodiodă. Temperatura camerei de măsură este cuprinsă între 70°C și 100°C.

Durata de încălzire a instalației în vederea punerii în funcțiune este de maxim 10 minute, iar timpul de răspuns, după intrarea în funcțiune, sub 0,4 sec.

Resetarea, frecvența de resetare, calibrarea și frecvența de calibrare se declanșează și reglează automat.

Analizorul se alimentează la tensiunea de 220 Vca, având un consum maxim de 300 W. Fummetrul *AVL Dismoke 4000*, este un aparat de avangardă, el fiind însoțit de un soft de diagnosticare a motorului care asigură identificarea defectelor acestuia în funcție de noxele măsurate, descrierea acestor defecte împreună cu modalitățile de verificare și reglaj.

## DIAGNOSTICAREA DIRECȚIEI ȘI PUNȚILOR AUTOMOBILELOR

### 14.1 Aspecte generale

Reglajul corect al direcției și roților influențează stabilitatea vehiculului, comoditatea conducerii și uzura pneurilor. În funcționare, aceste componente sunt supuse unor uzuri intense, care provoacă deformarea lor și care introduc modificări ce trebuie depistate și remediate la timp. Diagnosticarea direcției și roților are în vedere, mai ales, stabilirea valorilor următorilor parametri geometrici caracteristici:

- unghiul de înclinare longitudinală al pivotului fuzetei, numit și *unghi de fugă* al axului de pivotare al roții, notat cu  $\gamma$ ;
- unghiul de cădere sau de *carosaj* notat cu  $\alpha$ ;
- unghiul de înclinare laterală al pivotului fuzetei, notat cu  $\beta$ ;
- unghiul de convergență notat cu  $\delta$ ;
- deportul, notat cu  $d$ ;

Pe scurt, se vor redefini aceste caracteristici ale direcției.

**Unghiul de fugă** al axului de pivotare al roții este unghiul dintre verticală și axa geometrică de braț, proiectată pe un plan vertical longitudinal, așa cum se prezintă în **fig.14.1**. Datorită unghiului de fugă, roțile din față au tendința să se îndrepte singure în direcția de mers înainte. De altfel, orice roată condusă, adică o roată care nu este motoare, are tendința să se așeze, astfel încât, punctul de contact al roții cu terenul să rămână în urma punctului de intersecție al axei de pivotare cu terenul.

În general, automobilele cu punte rigidă în față au un unghi de fugă mai mare, de  $3^\circ$  până la  $9^\circ$ , iar cele cu suspensie independentă în față, au unghiul de fugă mai mic, adică între  $30'$  și  $3^\circ$ .

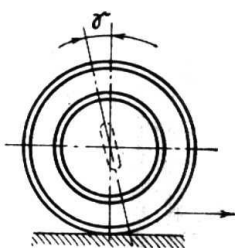


Fig. 14.1.

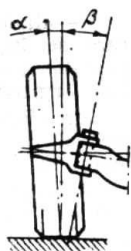


Fig. 14.2.

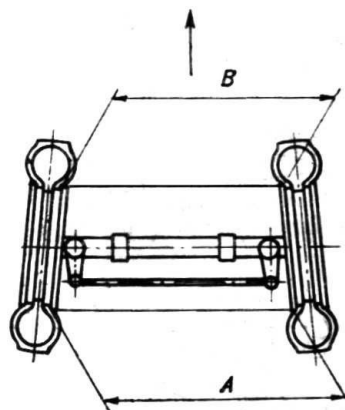


Fig. 14.3.

**Unghiul de cădere** al roții ( $\alpha$  în **fig.14.2**), numit și *unghi de carosaj*, introduce următoarele avantaje:

- forța principală de susținere este preluată de rulmentul mare al roții, care este dispus, de regulă, în zona mai groasă a fuzetei;
- se reduc solicitările piuliței din vârful fuzetei;
- scade tendința de încovoiere a punții sub sarcină.

Similar cazului precedent, unghiul de cădere este mai mare la automobilele cu punte rigidă în față, având curent valori de  $1^\circ \dots 2^\circ$ .

La majoritatea automobilelor cu roți independente, unghiul de cădere este nul. La acest tip de suspensie, unghiul de cădere variază odată cu mișcările organelor de suspensie, în timp ce, la cele cu punte rigidă în față, unghiul de cădere variază când una dintre roți trece peste o denivelare a terenului.

**Unghiul de înclinare laterală al pivotului**, este unghiul dintre verticală și axa de pivotare, proiectată pe un plan transversal vertical ( $\beta$  în **fig.14.2**). Avantajele care rezultă din introducerea acestui unghi sunt:

- manevrarea ușoară a roților, deoarece brațul de pârghie al cuplului rezistent este mai redus;
- reducerea ritmului de uzură la bușele pivotului;
- transmiterea forței principale de susținere rulmentului de presiune al pivotului.

**Unghiul de convergență** este numit și paralelismul roților din față. În vederea reglării poziției roților, convergența nu se măsoară în grade ci în milimetri, exprimând diferența distanțelor dintre marginile interioare ale jantelor, în puncte similare într-un plan orizontal, la nivelul axelor roților, așa cum se indică în **fig.14.3**. Diferența A-B, conform notațiilor din figură, poate fi de fapt pozitivă, sau negativă.

Convergența roților se impune, în special, din următoarele motive:

- pentru a echilibra tendința de rulare divergentă, cauzată de unghiul de cădere;
- pentru a anihila tendința de rulare divergentă, datorită poziției pivotului care împing roțile înainte;
- pentru a reduce jocurile în timpul mersului automobilului.

La automobilele cu roți independente, în mod curent, convergența are valori de la 0 până la 3 mm.

**Deportul  $d$** , pus în evidență în **fig.14.4**, reprezintă distanța dintre punctul D, adică intersecția axei pivotului cu terenul și centrul C al suprafeței de contact. Are rolul să mărească tendința roților din față de a reveni la rulare în linie dreaptă.

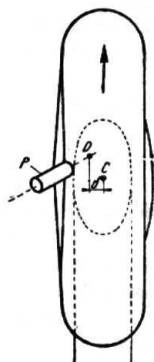


Fig. 14.4.

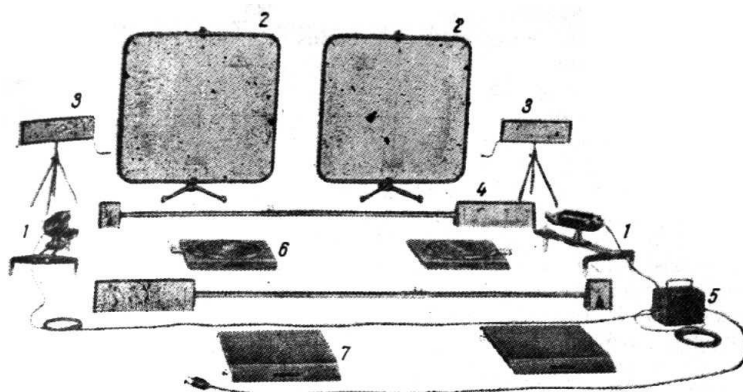


Fig. 14.5.

#### 14.2 Aparatele utilizate la verificarea geometriei direcției

Există aparate *mecanice*, *optice* și *electronice*. Cel mai simplu aparat mecanic este tija telescopică cu care se verifică însă numai convergența roților.

Tot din aceasta categorie fac parte și aparatele cu bulă de nivel.

Aparatele optice și cele electronice sunt cele mai utilizate. Aparatele optice se bazează pe principiul măsurării unghiurilor, folosind spotul luminos produs de un proiector montat pe roată, care emite un fascicul luminos paralel cu planul jantei. În fața fasciculului se plasează un ecran, pe care este trasată o scală. Instalația, arătată în **fig.14.5**, are în componență următoarele elemente: două proiectoare, 1, două ecrane cu scale unghiulare, 2, două ecrane cu scale liniare, 3, două tije cu scale liniare, 4, un transformator pentru alimentarea proiectoarelor, 5, două platouri rotitoare cu scale unghiulare, 6 și două platouri fixe, 7. Proiectoarele sunt prevăzute cu câte o oglindă rabatabilă, care poate devia fasciculul luminos cu 90°. Astfel de aparate sunt fabricate de firma **Muller** din Franța, purtând indicativele **BEM 8 T/DA** și **BEM 665 PL**. Un alt aparat, care face parte din aceeași categorie, este și **OPTOFLEX**, de fabricație engleză. Verificarea geometriei direcției presupune următoarele operații prealabile:

- stabilirea presiunii nominale în pneuri;
- încărcarea automobilului conform prescripțiilor;
- aducerea la valori nominale a eventualelor jocuri din mecanismul de direcție.

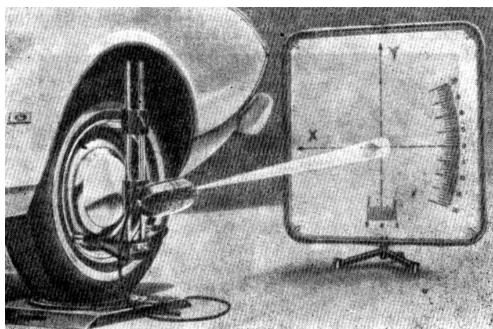
Pentru utilizarea aparatelor de tip optic, se urcă automobilul pe cele patru platouri, astfel încât roțile din față să fie așezate pe platourile mobile. Se montează cele două proiectoare pe jantele roților din față. Ecranele cu scale unghiulare se așează în față, fiecare în dreptul câte unei roți.

### 14.3 Verificarea unghiului de cădere cu ajutorul aparatelor optice

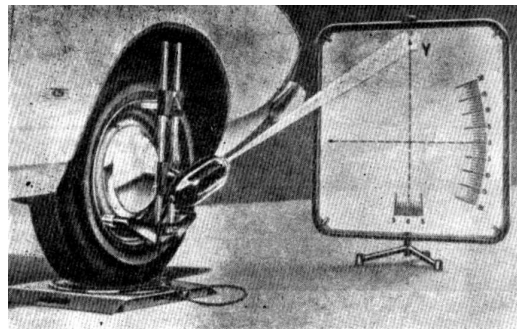
Pentru utilizarea aparatelor de tip optic, se poziționează automobilul pe cele patru platouri, astfel încât roțile din față să fie așezate pe platourile mobile. Se montează cele două proiectoare pe jantele roților din față. Ecranele cu scale unghiulare se dispun în față, fiecare în dreptul câte unei roți. Roțile din față se vor orienta pe direcția de rulare rectilinie, deci simetric față de axa longitudinală a automobilului.

Urmărind **fig.14.6**, în vederea determinării unghiului de cădere se va proceda la următoarea succesiune de operații:

- se blochează platourile turnante, rotindu-se proiectoarele spre direcția de mers a automobilului și se reglează astfel încât axa de rotație a acestora să coincidă cu axa roții;
- se aduce reperul indicator al proiectorului roții care se verifică, în vârful axei **Y**, prin rotirea corpului proiectorului în jurul axului și se reglează claritatea imaginii;
- se rotește proiectorul coborând spotul pe scala unghiulară aflată în partea de jos a ecranului, pe care se citește valoarea și semnul unghiului de cădere; unghiul este pozitiv, când indicația se află pe porțiunea scalei din interior și invers.



**Fig. 14.6.**



**Fig. 14.7.**

#### 14.4 Măsurarea unghiului de înclinare transversală al pivotului fuzetei cu ajutorul aparatelor optice

Acest tip de determinare, în concordanță cu **fig.14.7**, presupune următorul algoritm de lucru:

- se aduce spotul luminos cu vârful indicator în centrul ecranului, la intersecția axelor **X** și **Y**;
- se deblochează platourile rotitoare;
- se rotește volanul până când semnul indicator al spotului este adus în vârful săgeții axei **X**, modificând, dacă este cazul, și poziția proiectorului ;
- se rotește volanul în sens invers, până când imaginea luminoasă este adusă pe scala unghiulară verticală a ecranului și se citește unghiul de înclinare transversală al pivotului fuzetei; el este pozitiv când este citit pe scală deasupra reperului **0** și invers.

#### 14.5 Măsurarea unghiului de înclinare longitudinală al pivotului fuzetei cu ajutorul aparatelor optice

În acest caz se aduc roțile pe direcția de mers rectilinie, indicatorul fiind poziționat pe reperul **0** al scalei verticale. Se execută apoi următoarele operații:

- se plasează ecranele pe partea laterală a automobilului, paralele cu axa sa longitudinală, de o parte și de alta, la aproximativ 1200 mm de centrele platourilor rotitoare (**fig.14.8**);
- se rotește proiectorul cu spotul perpendicular pe sol și se deplasează oglinda lui, astfel ca fasciculul să fie dirijat spre ecran;
- se deplasează proiectorul pe verticală, până când oglinda va fi adusă în dreptul centrului roții;
- se reglează poziția ecranului, astfel încât spotul luminos să cadă cu indicatorul său pe axa orizontală a ecranului;
- se reglează claritatea spotului și apoi se manevrează volanul, astfel încât vârful indicator să ajungă în vârful săgeții axei **X** ;
- se rotește volanul în sens invers, până când vârful indicator al spotului este adus pe scala verticală a ecranului, pe care se citește unghiul de înclinare longitudinală; el este pozitiv sub axa orizontală și invers.

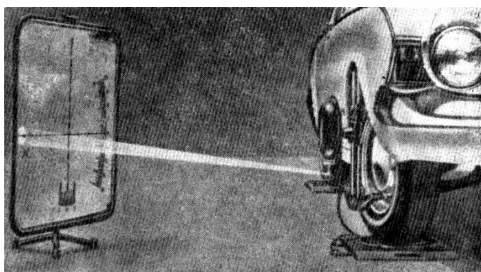


Fig. 14.8.

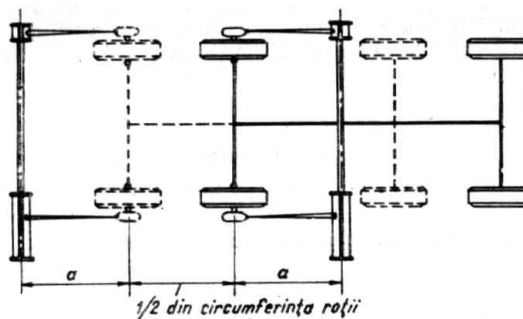


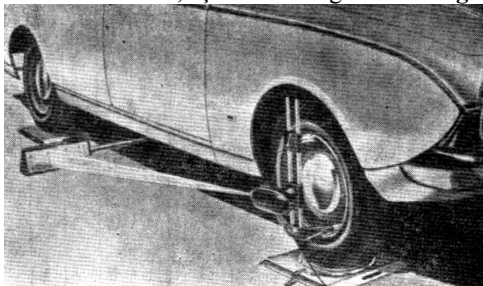
Fig. 14.9.

#### 14.5 Verificarea convergenței.

Această verificare se poate face cu ajutorul tijelor cu scală liniară 4, aflate în componența aparatului descrise și presupune următoarele operații:

- se deplasează automobilul de pe platourile rotitoare și se orientează roțile pe direcție

- rectilinie;
- se dispun barele cu scala liniară în raport cu automobilul, ca în **fig.14.9**; distanța **a** este în funcție de diametrul roții și se indică în documentația aparatului;
  - se orientează proiectoarele fixate pe jantele roților din față, astfel încât, fasciculele luminoase să cadă pe bare; se reglează lungimea lor astfel ca unul din fascicule să cadă pe scala liniară, iar celălalt pe reperul unghiular;
  - se reglează poziția barei aflate sub automobil, astfel încât vârful indicator al spotului din stânga să stea în dreptul reperului aflat pe capul din dreapta și se reglează claritatea imaginilor;
  - se notează indicația de pe scala liniară;
  - se deplasează automobilul înainte, pe o distanță egală cu jumătate din circumferința roții, astfel încât, spoturile să cadă pe bara din față;
  - bara din față se aduce la aceeași lungime ca a celei din spate; se reglează poziția acesteia astfel încât spoturile să cadă pe suprafețele de citire;
  - se deplasează bara din față până când spotul proiectoarei din stânga ajunge în dreptul reperului indicator, de pe extremitatea stângă a barei și se citește indicația de pe scala liniară, așa cum se sugerează în **fig.14.10**.



**Fig. 14.10.**

Diferența dintre ambele citiri reprezintă convergența roților din față, în **mm**. Dacă prima valoare este mai mare decât a doua, convergența este pozitivă și invers.

Tot cu această categorie de aparate se pot măsura unghiurile de bracare ale roților, adică unghiurile maxime cu care se rotesc roțile directe, pornind de la poziția neutră și, de asemenea, paralelismul roților din spate.

#### **14.6 Determinarea stării tehnice a organelor direcției**

Manifestările ce caracterizează înrăutățirea stării tehnice a direcției sunt:

- mărirea jocului liber al volanului;
- creșterea efortului necesar acționării lui.

Măsurarea jocului se face precis cu ajutorul aparatelor optice. În acest scop, la una dintre roțile directe se montează un proiector și se urmărește începutul mișcării petei luminoase pe un ecran din fața automobilului.

Măsurarea jocului se recomandă, să se facă cu roțile aplicate pe sol, deoarece jocurile din articulațiile mecanismului de direcție nu sunt anulate.

Cauza care produce mărirea jocului se determină prin blocarea uneia dintre roțile directe și încercarea de a roti volanul, în mod repetat, cu o forță de 6 până la 10 **daN**. La mecanismul în stare bună, nu trebuie să se observe nici o deplasare perceptibilă în articulații.

Efortul de manevrare al volanului depinde de frecările din articulații și lagăre și poate fi măsurat cu ajutorul dinamometrelor. Valoarea maximă a acestuia diferă de la o construcție la alta și este cuprinsă în general între 3 și 8 **daN**. Valorile mai mari corespund pentru autocamioane și pentru mecanismele melc - roată melcată. Este de menționat că efortul măsurat la capetele cursei este de 1,5 până la 2 ori mai mare decât cel măsurat cu volanul în poziție mediană.

## BIBLIOGRAFIE

1. Apostolescu, N., Taraza, D., *Bazele cercetării experimentale a mașinilor termice*, Editura Didactică și Pedagogică, București, 1979.
2. Aramă, C., Mihai, A., Ruse, Gh., Vaiteanu, D., Zătreanu, Gh., *Automobilul de la A la Z*, Editura Militară, București, 1985.
3. Bătagă, N., Căzilă, A., Cordoș, N., *Rodarea, uzarea, testarea și reglarea motoarelor termice*, Editura Tehnică, București, 1995.
4. Burche, I., *Exploatarea, întreținerea și repararea pneurilor*, Editura Tehnică, București, 1963.
5. Critea, P., *Practica automobilului*, vol. II, ediția a IV-a, Editura Tehnică, București, 1966.
6. Dumitru, P., *Pompe de injecție și injectoare pentru automobile și tractoare*, Editura Ceres, București, 1988.
7. Freifeld, H., *Întreținerea automobilului*, Editura Tehnică, București, 1969.
8. Fransua, Al., Raicu, V., *Echipamentul electric al automobilelor*, Editura Tehnică, București, 1966.
9. Fulga, E., Mihățoiu, I., *Exploatarea bateriei de acumulare la tractoare și mașini agricole autopropulsate*, Editura Ceres, București, 1989.
10. Lespezeanu, I., *Contribuții privind aprecierea performanțelor motoarelor diesel pe baza variației vitezei de rotație a arborelui cotit*, Rezumatul tezei de doctorat, București, 1998.
11. Manea, C., Stratulat, M., *Fiabilitatea și diagnosticarea automobilelor*, Editura Militară, București, 1982.
12. Mateevici, V., *Recomandări practice pentru amatorii auto*, Editura Tehnică, București, 1967.
13. Parizescu, V., *Pene de automobil. Simptomatice, depistare, remediere*, Editura Tehnică, București, 1979.
14. Rakosi, E., *Diagnosticare Automobilelor-Tehnici și Echipamente*, Editura Gh. Asachi, Iași, 1999.
15. Rădulescu, V., *Utilaje pentru întreținerea și reglarea automobilelor*, Editura Tehnică, București, 1964.
16. Sirețeanu, T., Gündisch, O., Părăian, S., *Vibrațiile aleatoare ale automobilelor*, Editura Tehnică, București, 1981.
17. Stratulat, M., *Exploatarea rațională a automobilului*, Editura Militară, București, 1986.
18. Stratulat, M., Andreescu, C., *Diagnosticarea automobilelor*, Societatea Științifică și Tehnică SA, București, 1997.
19. Stratulat, M., Șoiman, M., Văiteanu, D., *Diagnosticarea automobilelor*, Editura Tehnică, București, 1977.
20. Tărăboi, V., *Pompe și injectoare pentru motoare Diesel*, Editura Tehnică, București, 1956.
21. Tocaiuc, Gh., *Echipamentul electric al automobilelor*, Editura Tehnică, București, 1983.
22. Tomuța, O., *Acumulatori electrice*, Editura Tehnică, București, 1988.
23. \*\*\*1992 SAE Handbook, Vol. 3, 23 - 26, "*Engines Fuels, Lubricants, Emissions and Noise*".